**Fig. 2**

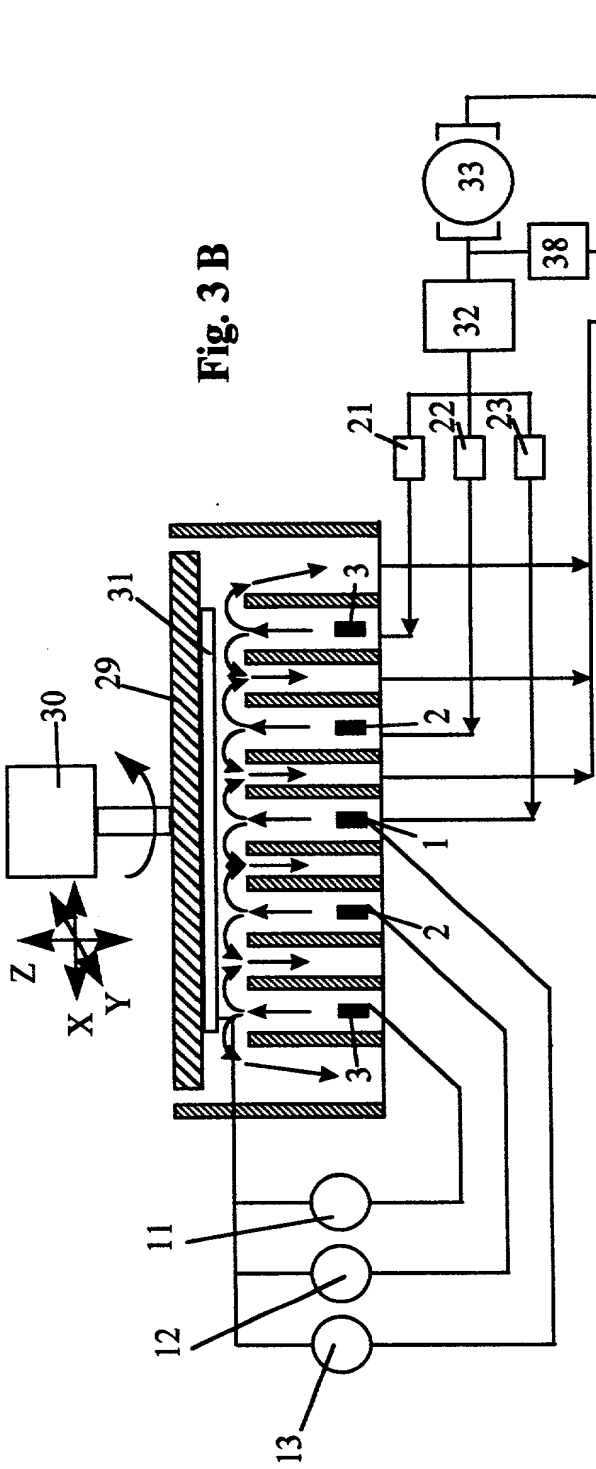


Fig. 3 B

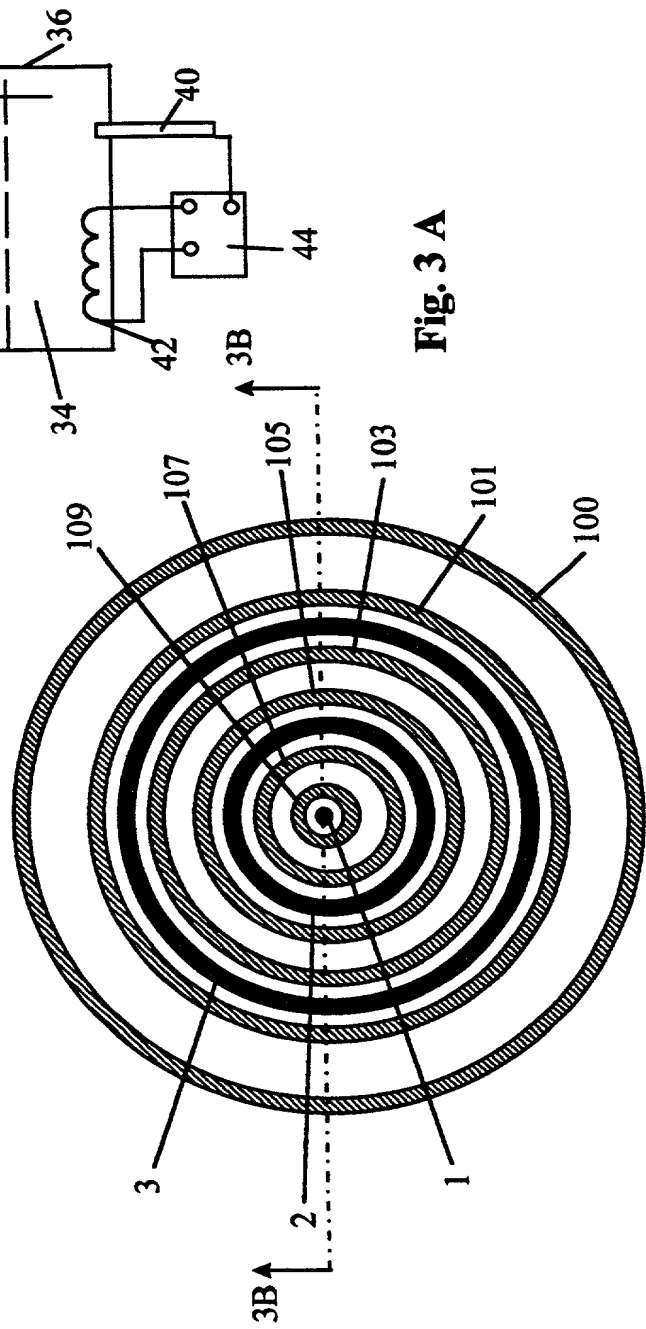


Fig. 3 A

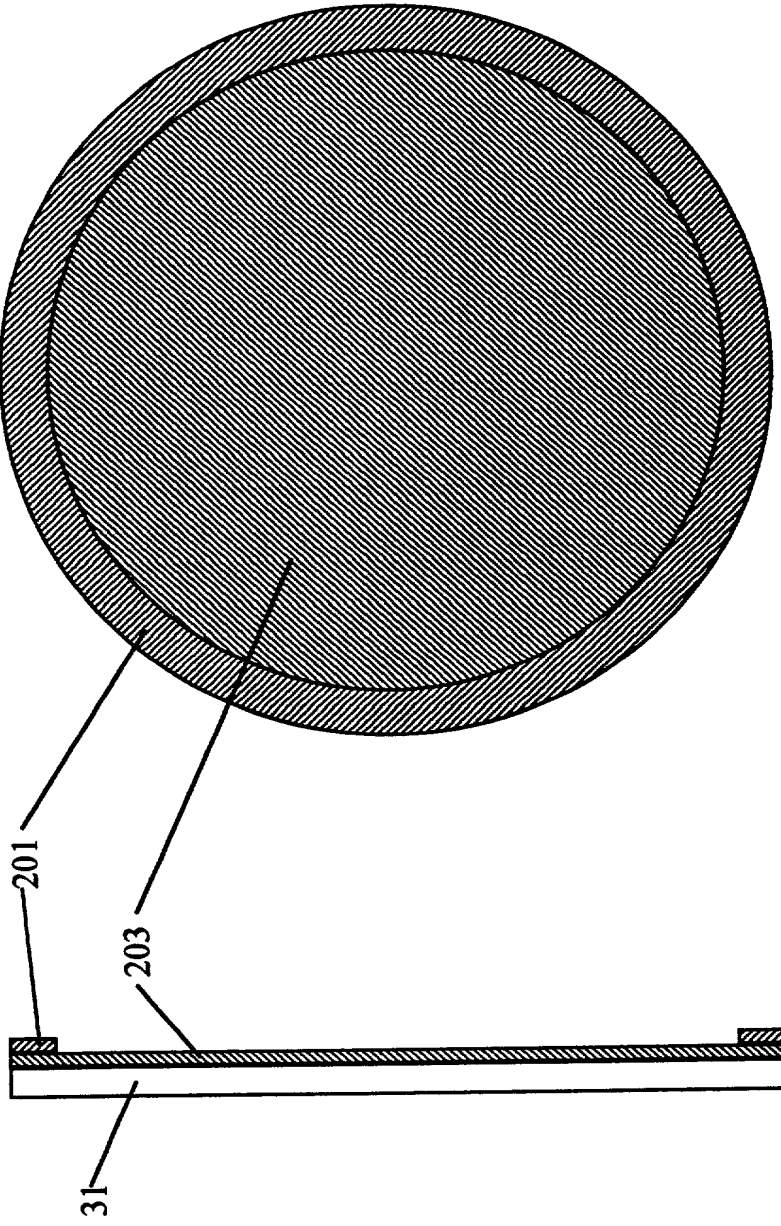


Fig. 4 B

Fig. 4 A

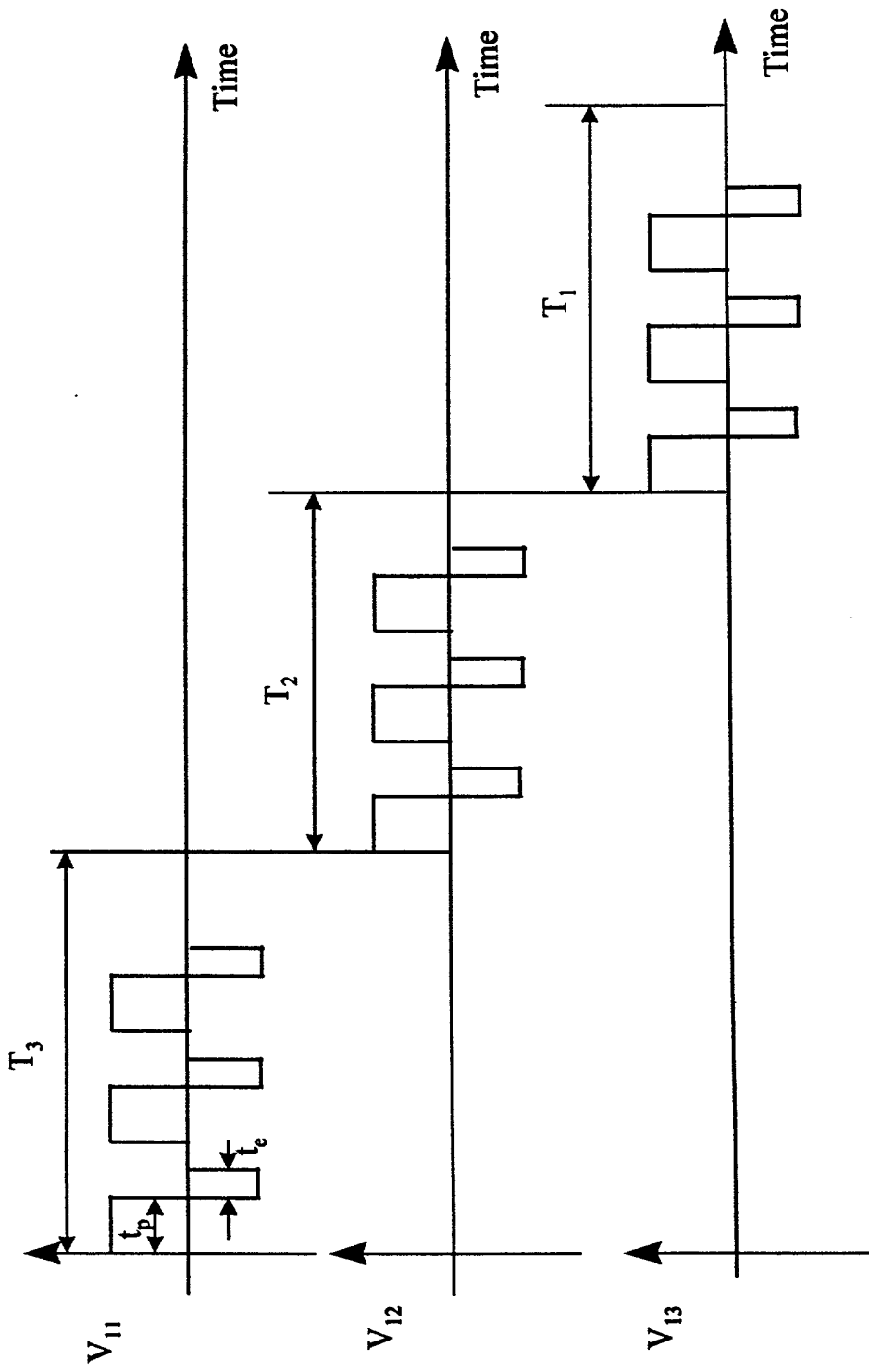


Fig. 5

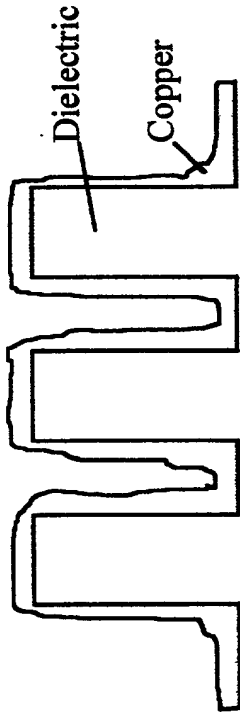


Fig. 6 A Large Ratio of t_e/t_p

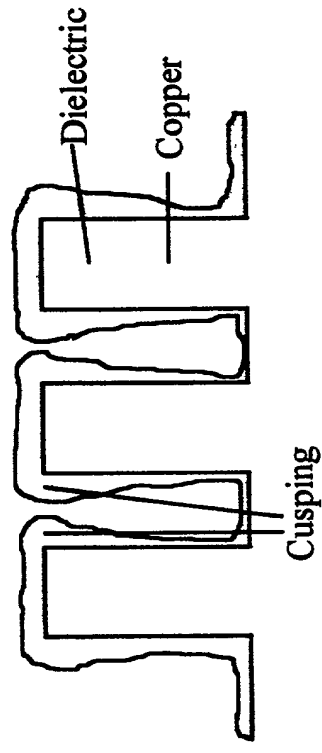


Fig. 6 B Small Ratio of t_e/t_p

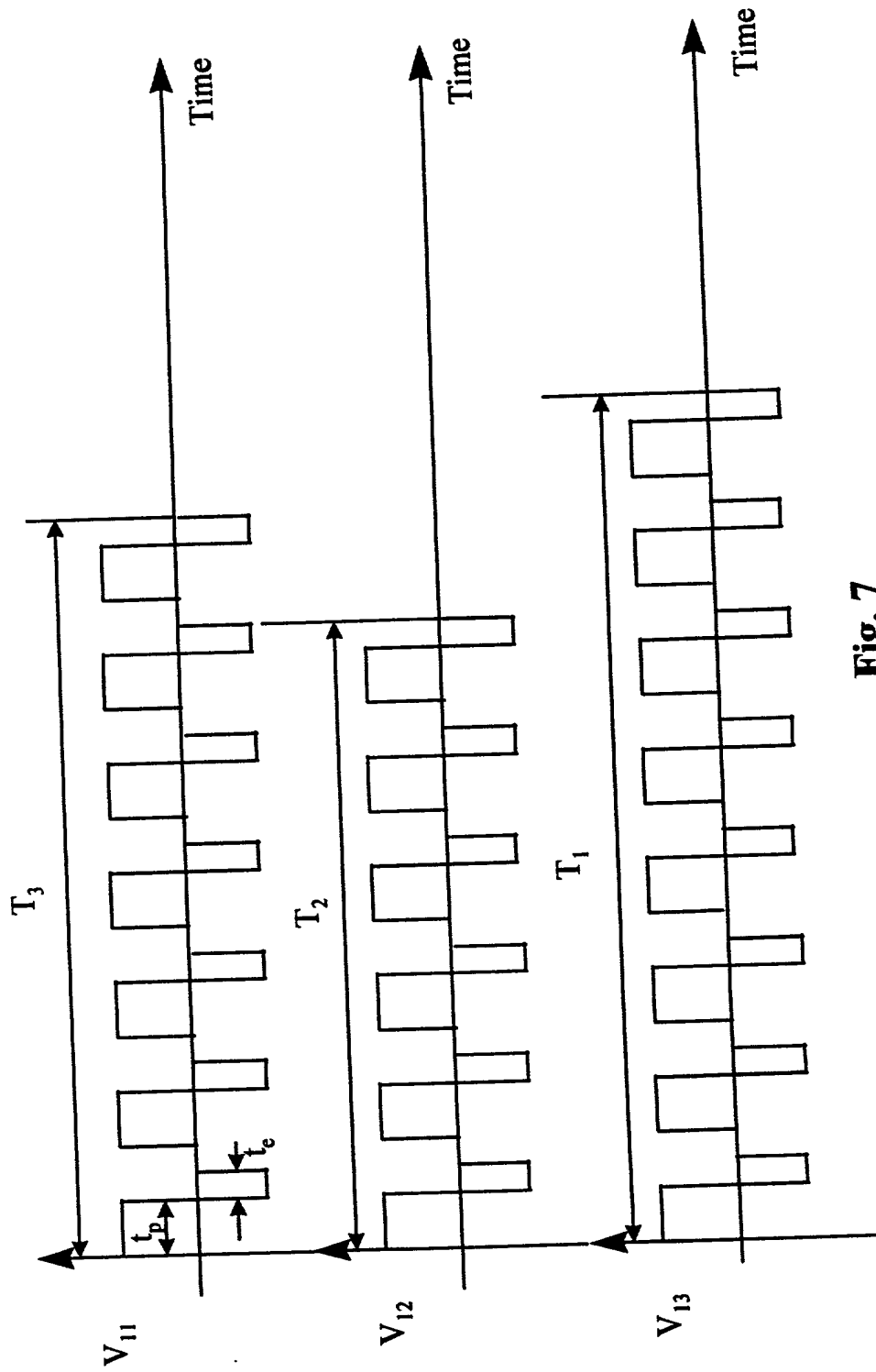


Fig. 7

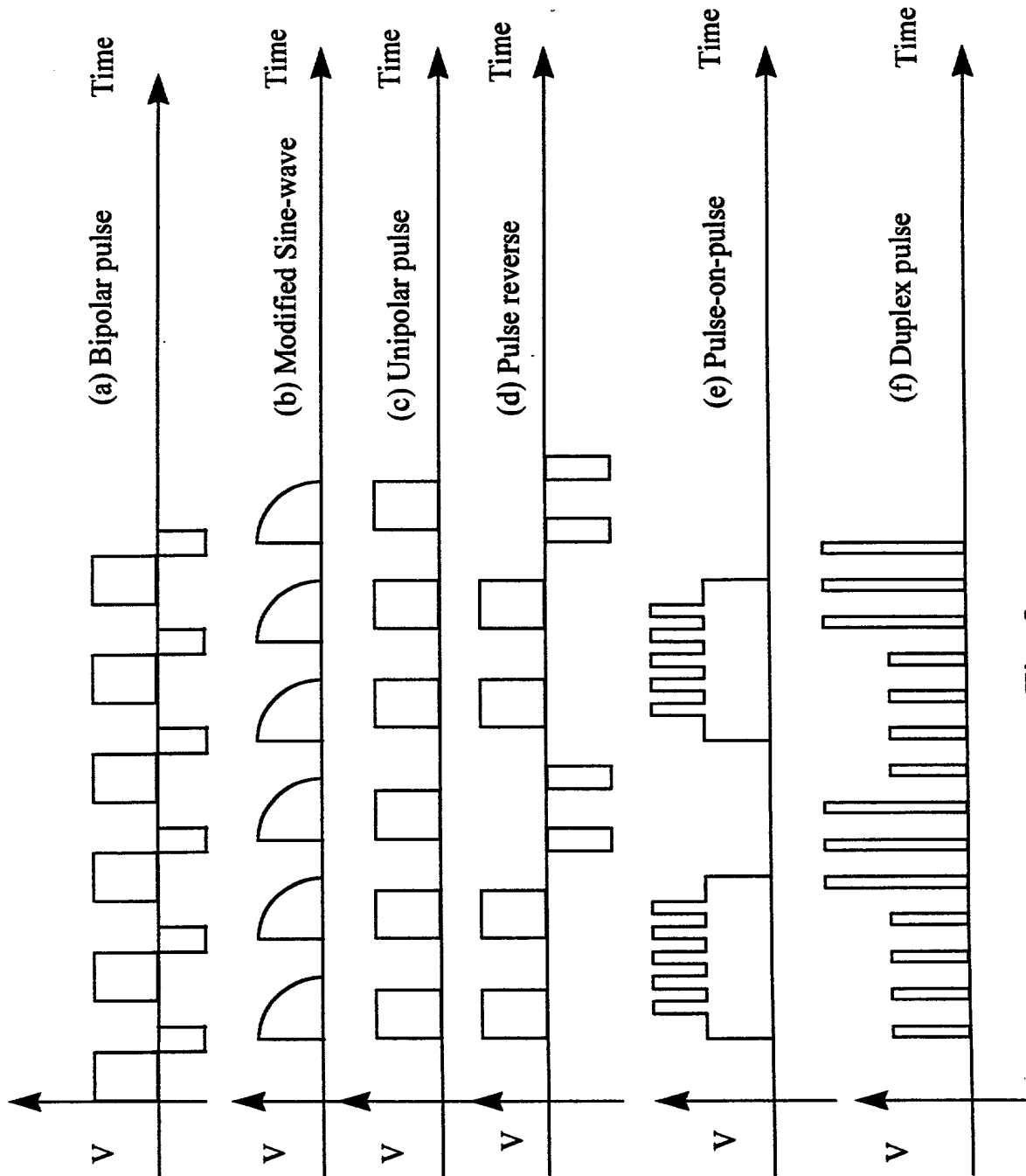


Fig. 8

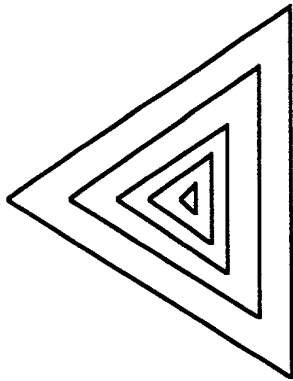


Fig. 9 A

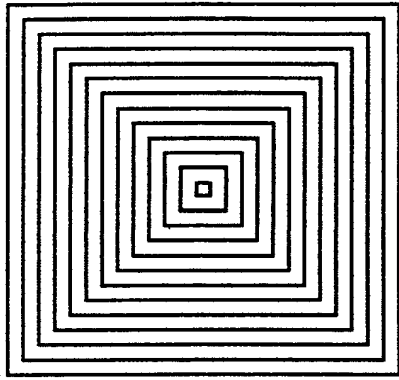


Fig. 9 B

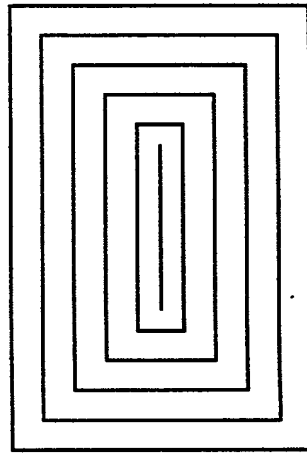


Fig. 9 C

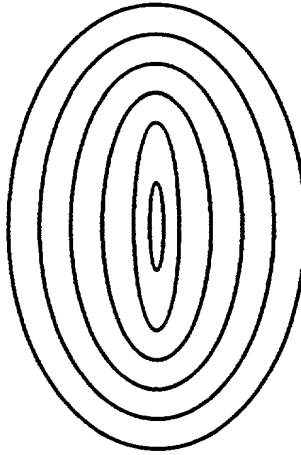


Fig. 9 D

10/65

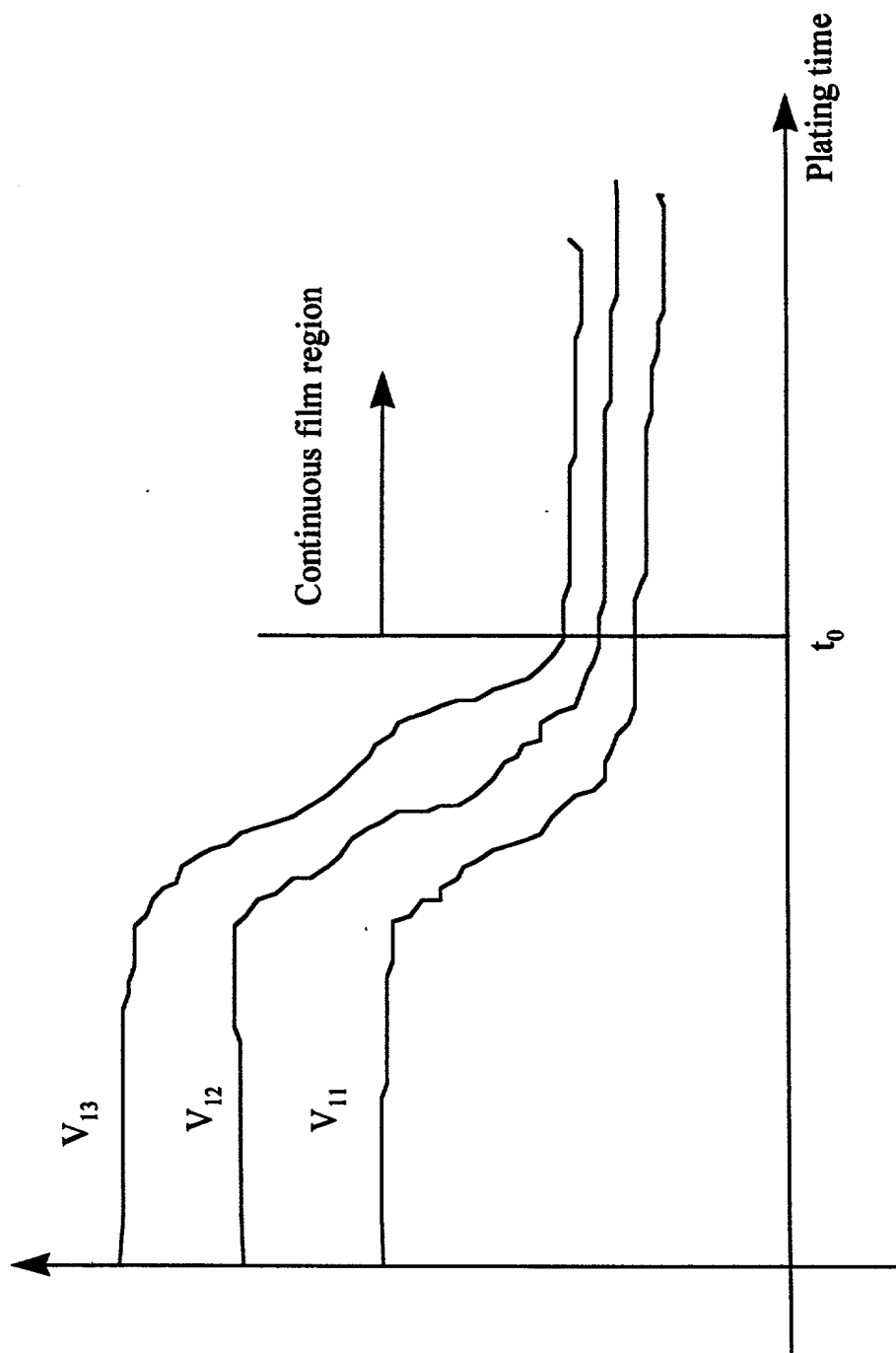


Fig. 10

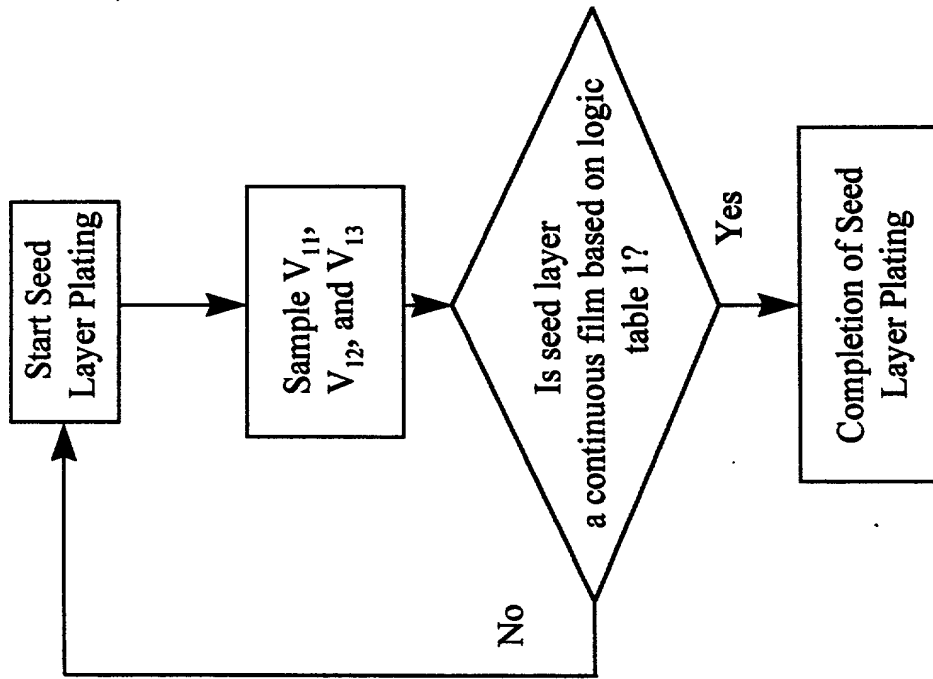


Fig. 11

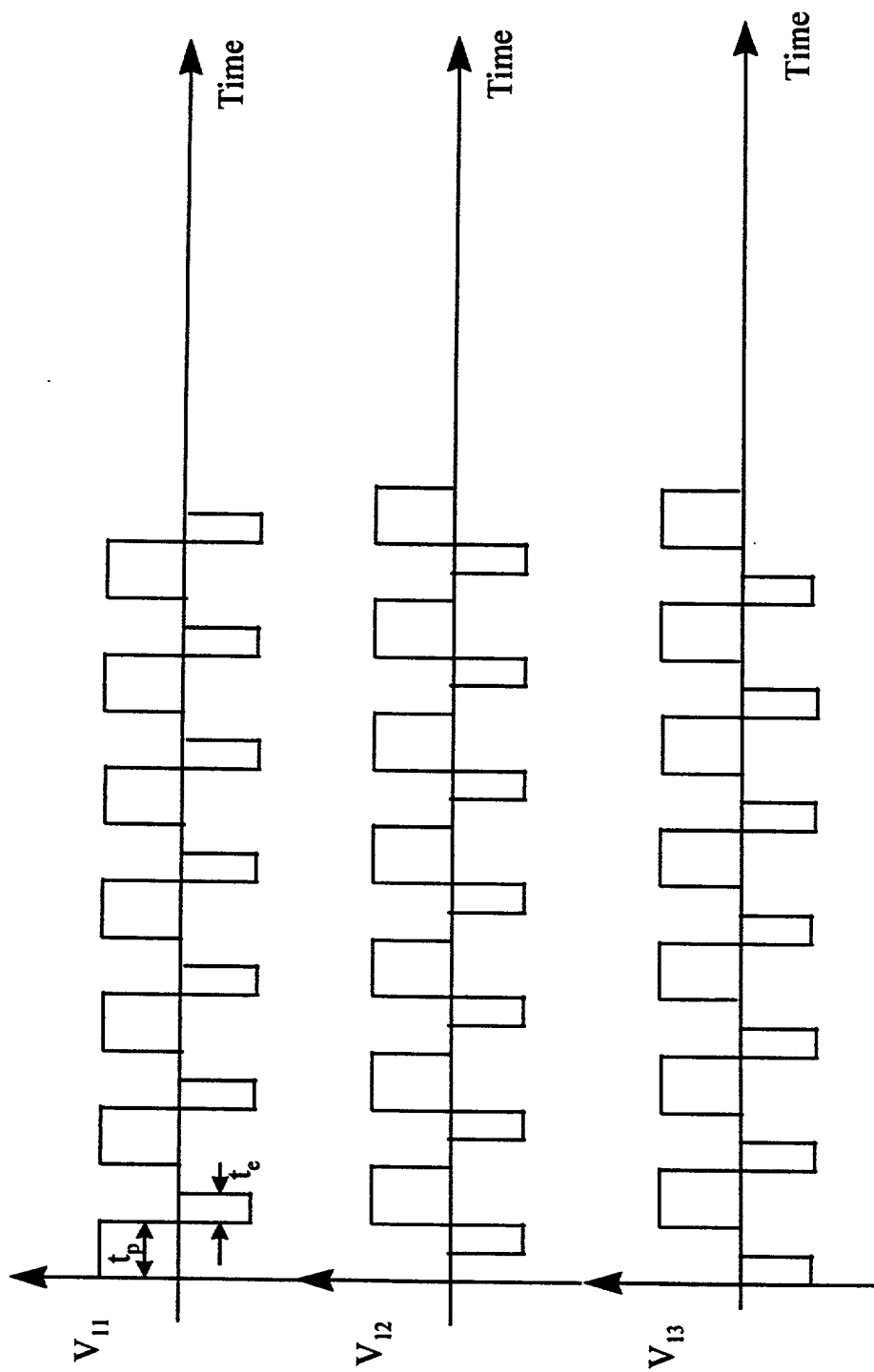


Fig.12

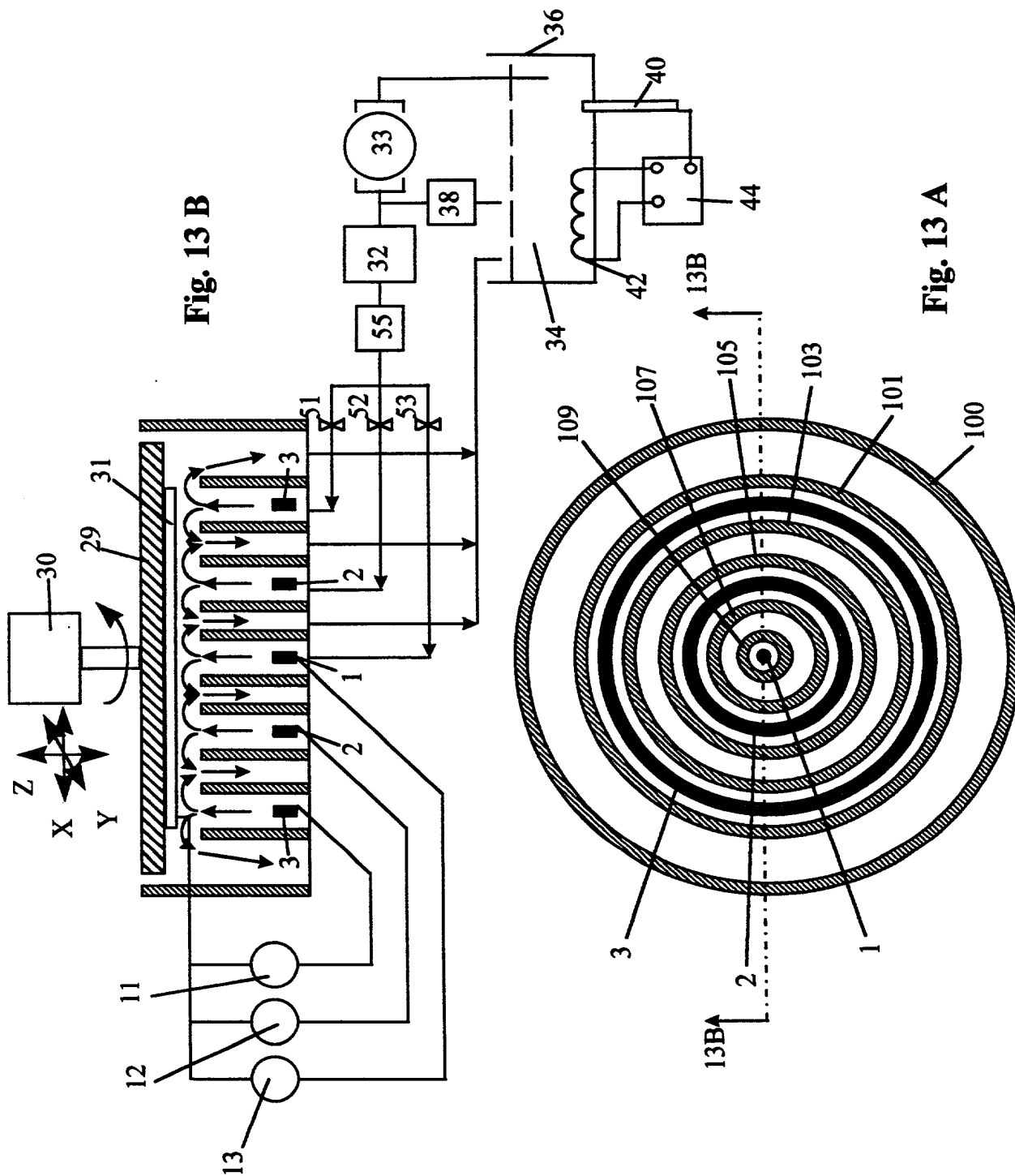


Fig. 13 A

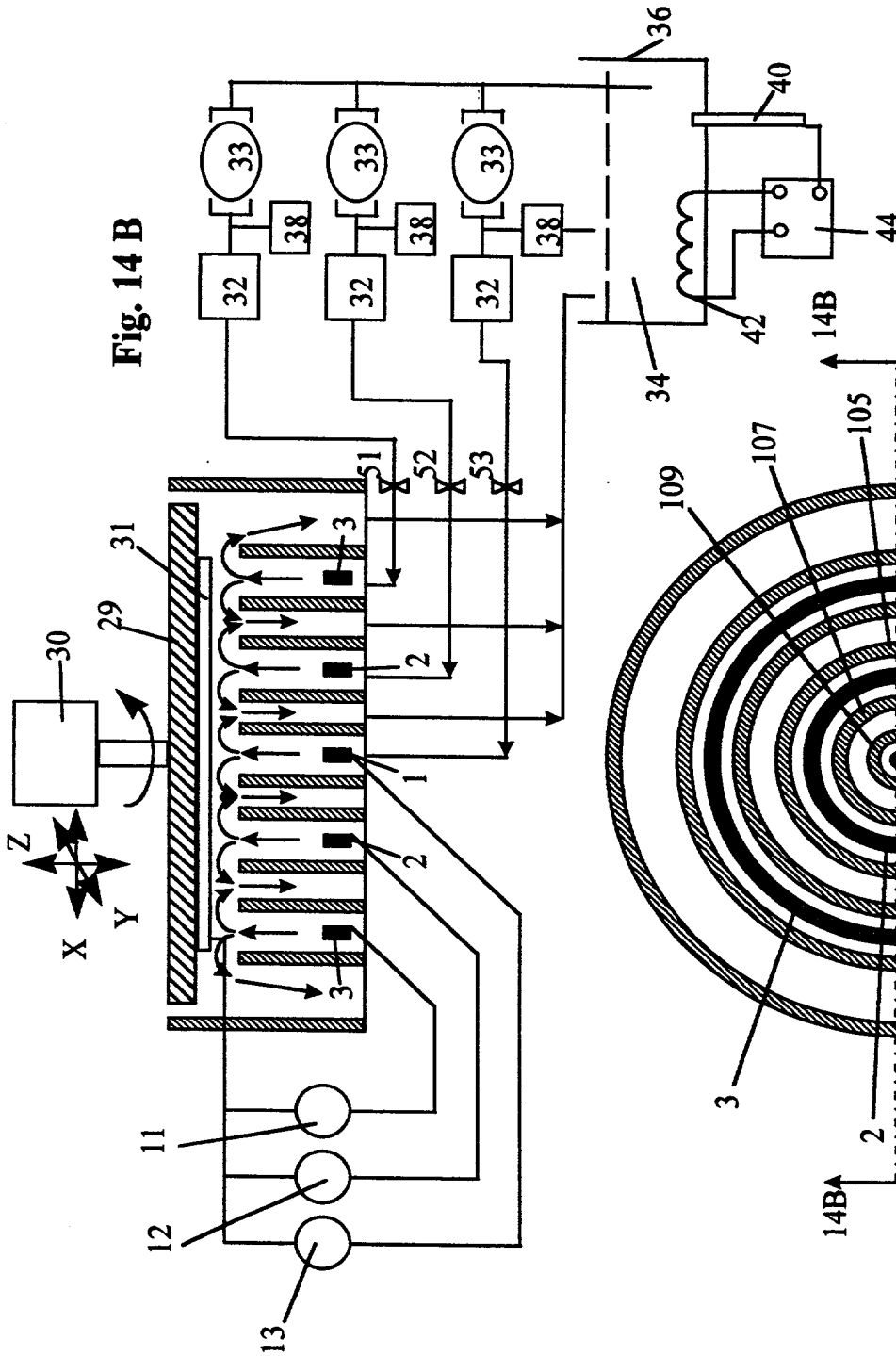


Fig. 14 B

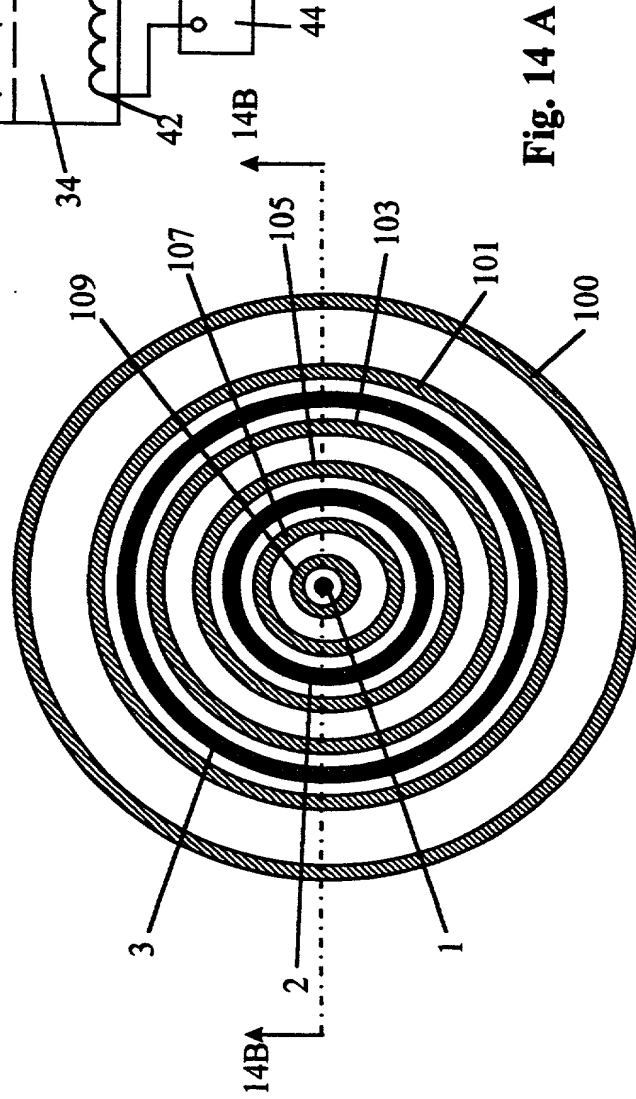
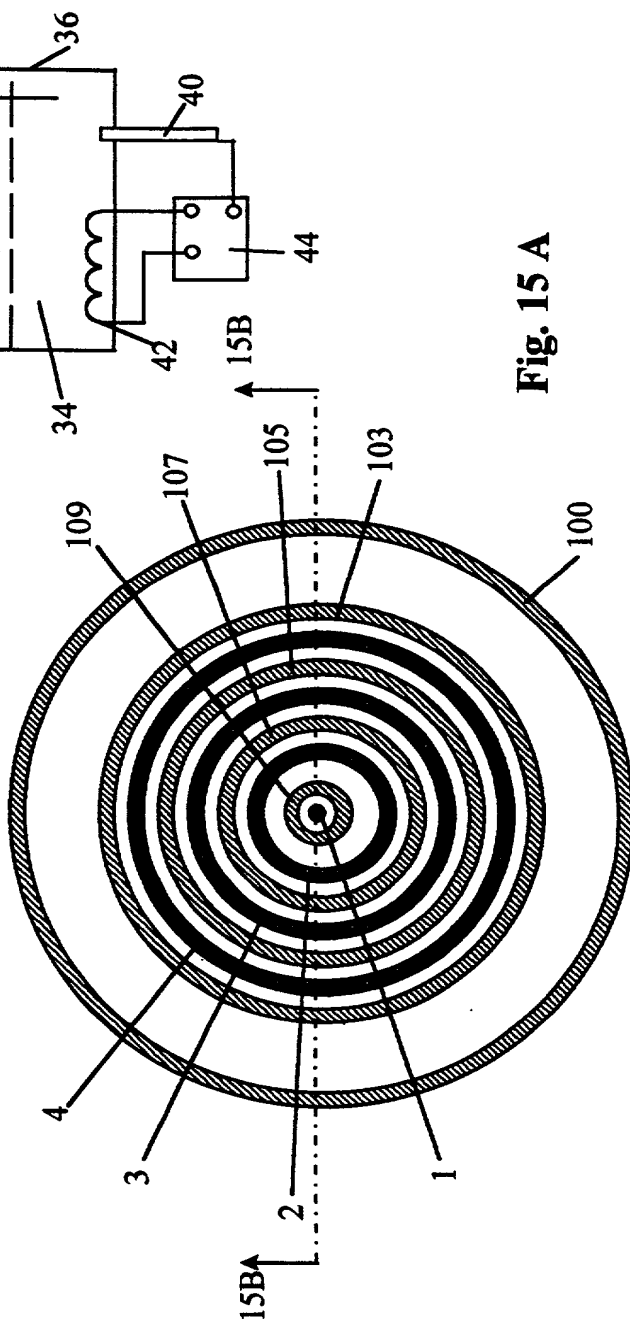
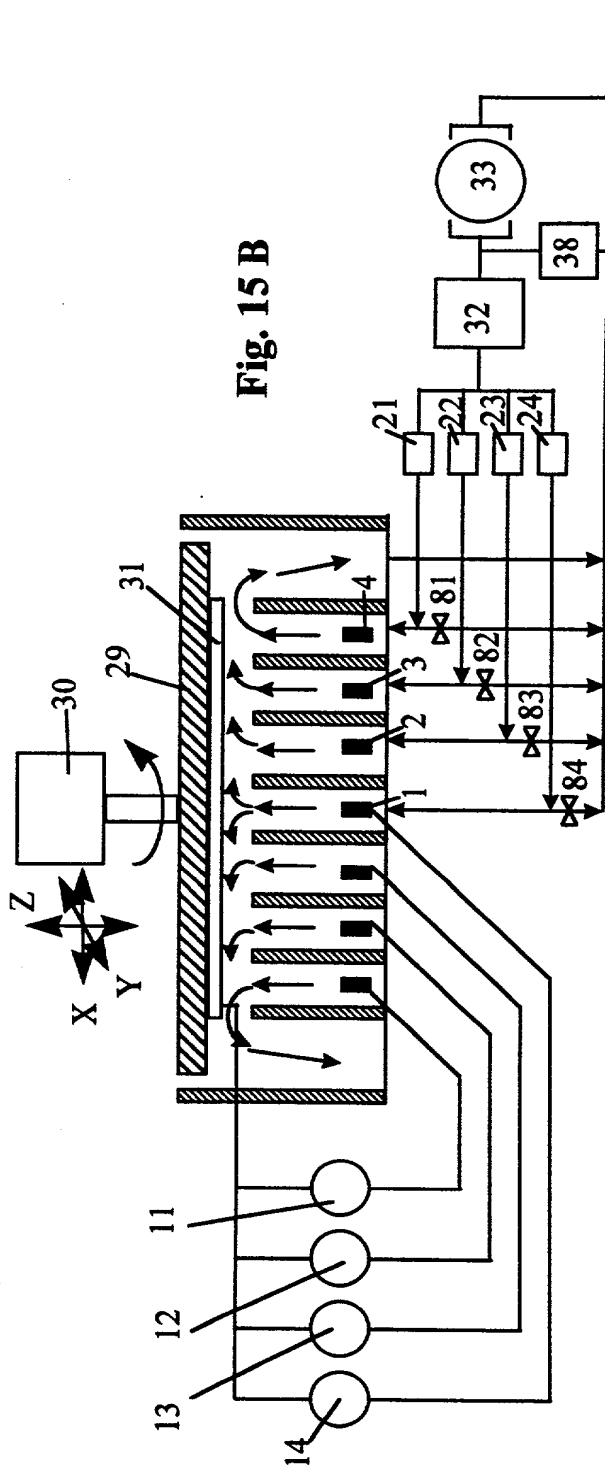


Fig. 14 A



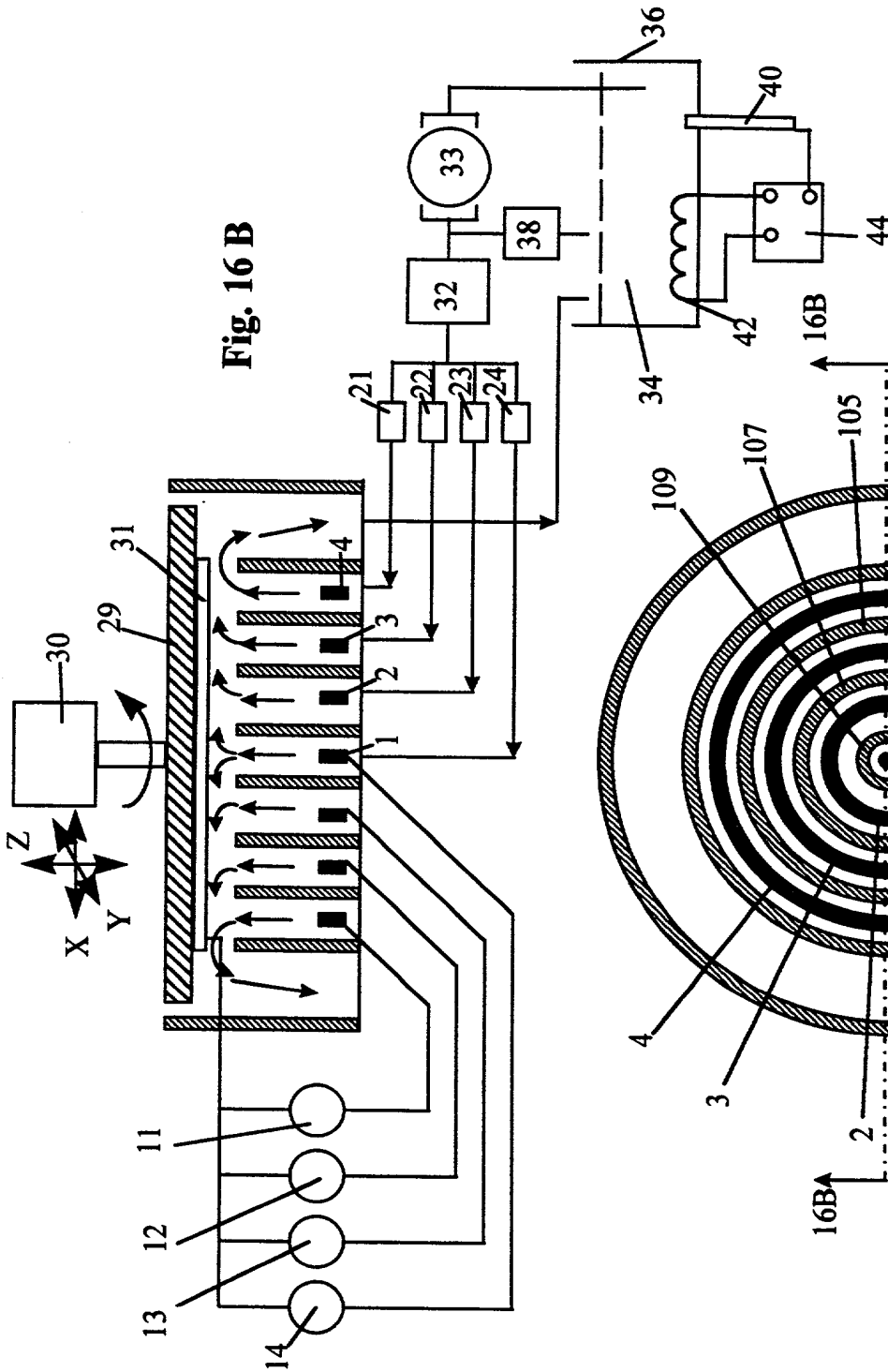


Fig. 16 B

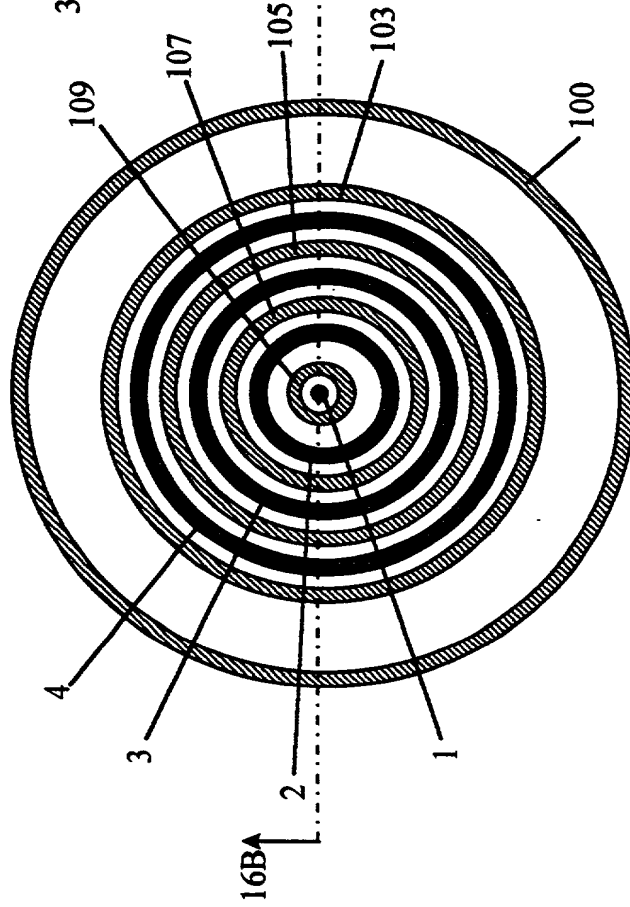


Fig. 16 A

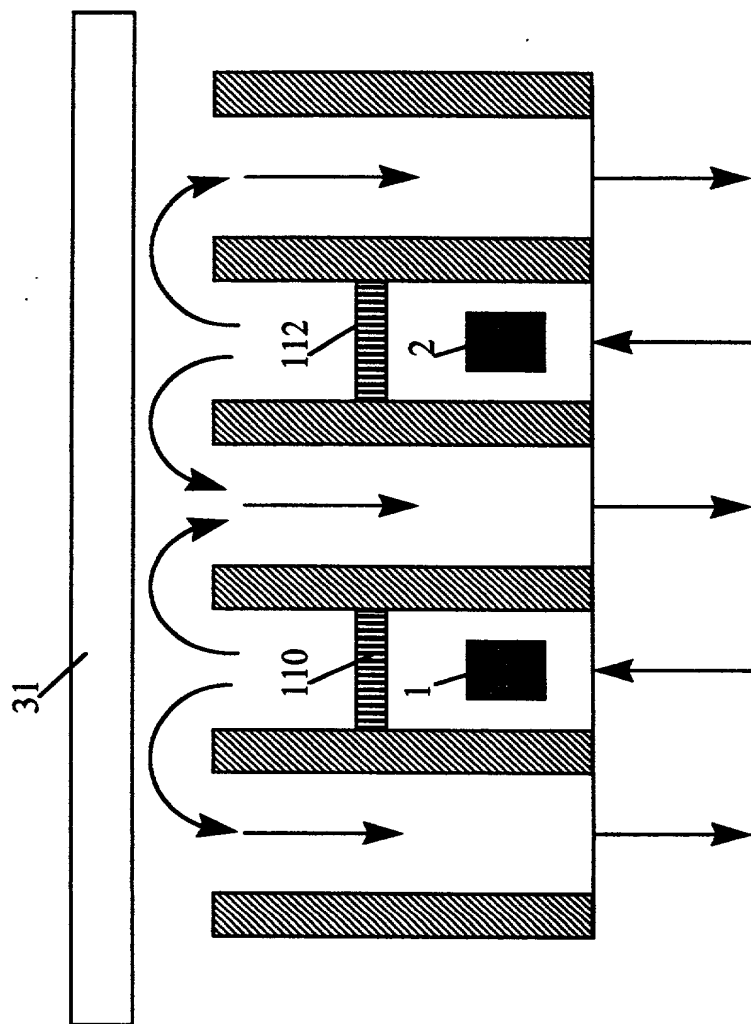


Fig. 17

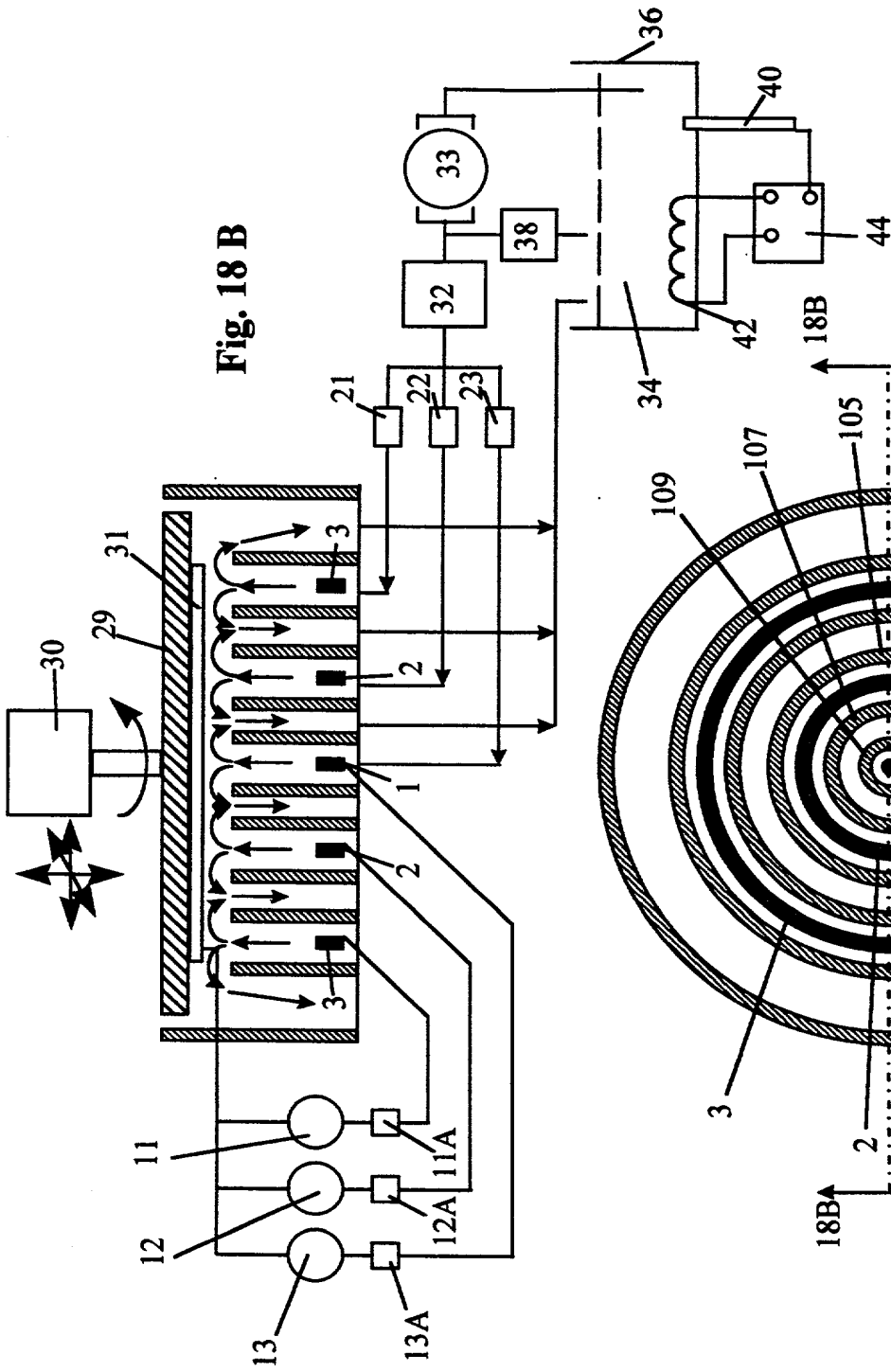


Fig. 18 B

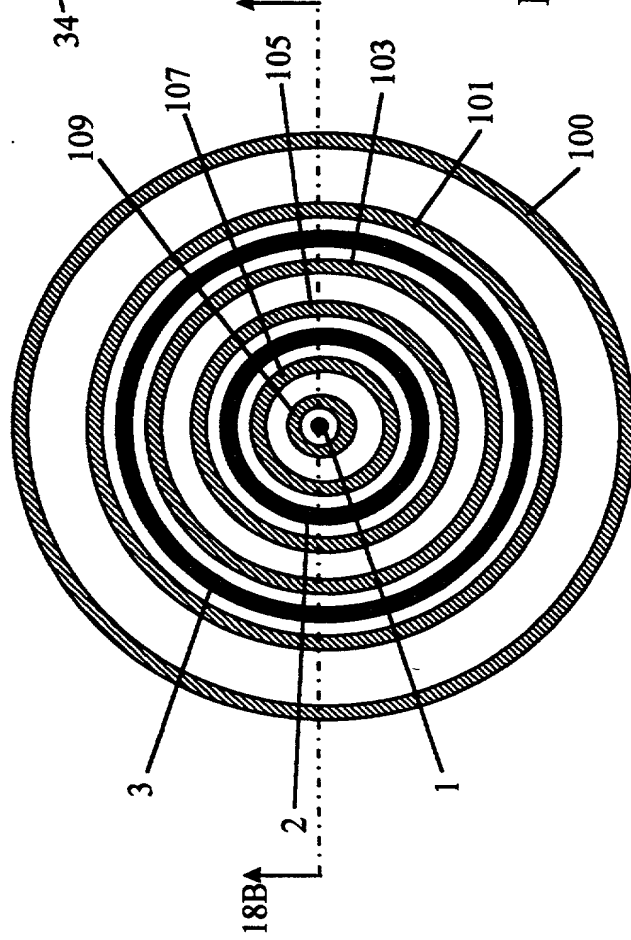


Fig. 18 A

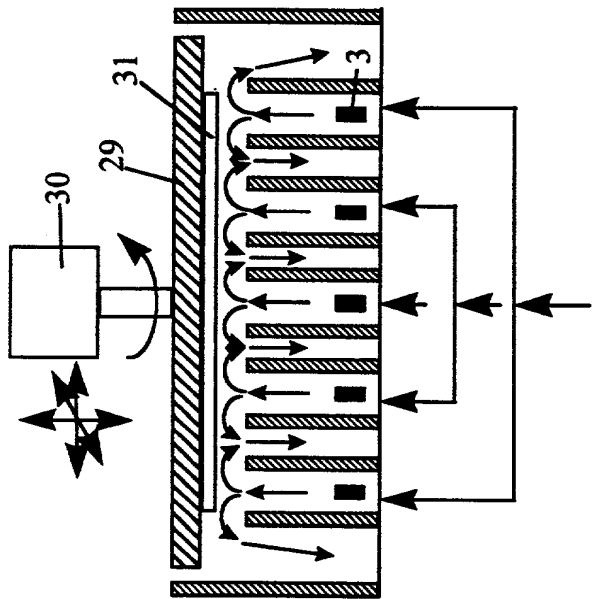


Fig. 19 B

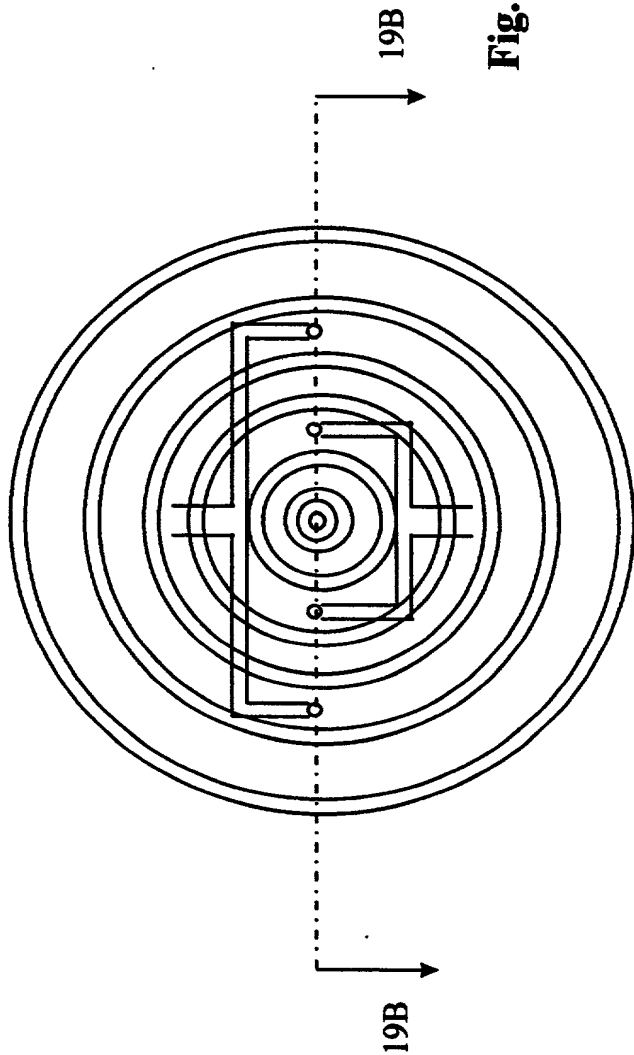


Fig. 19 A

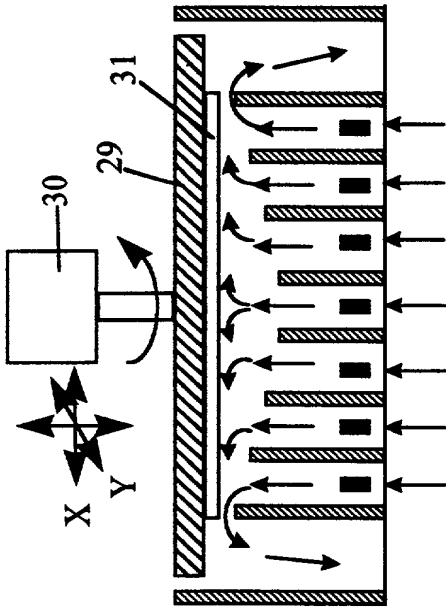


Fig. 20 A

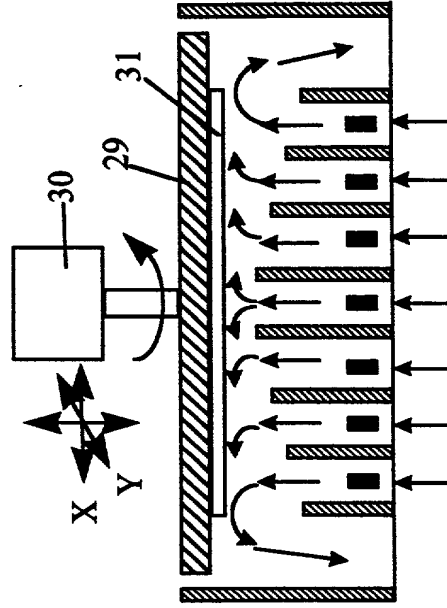


Fig. 20 B

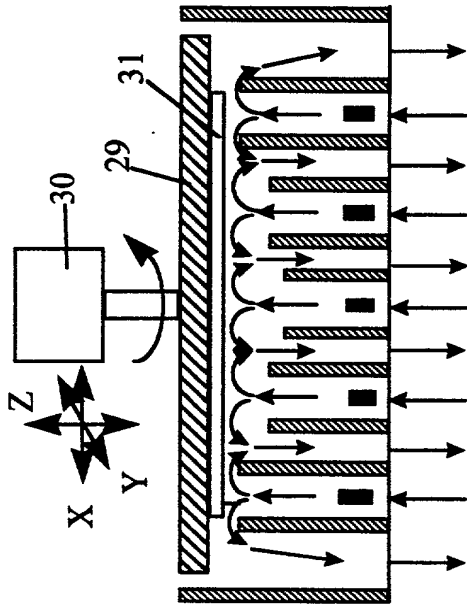


Fig. 21 A

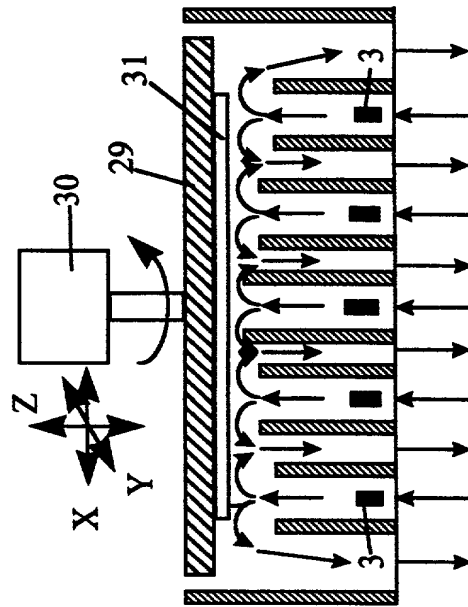


Fig. 21 B

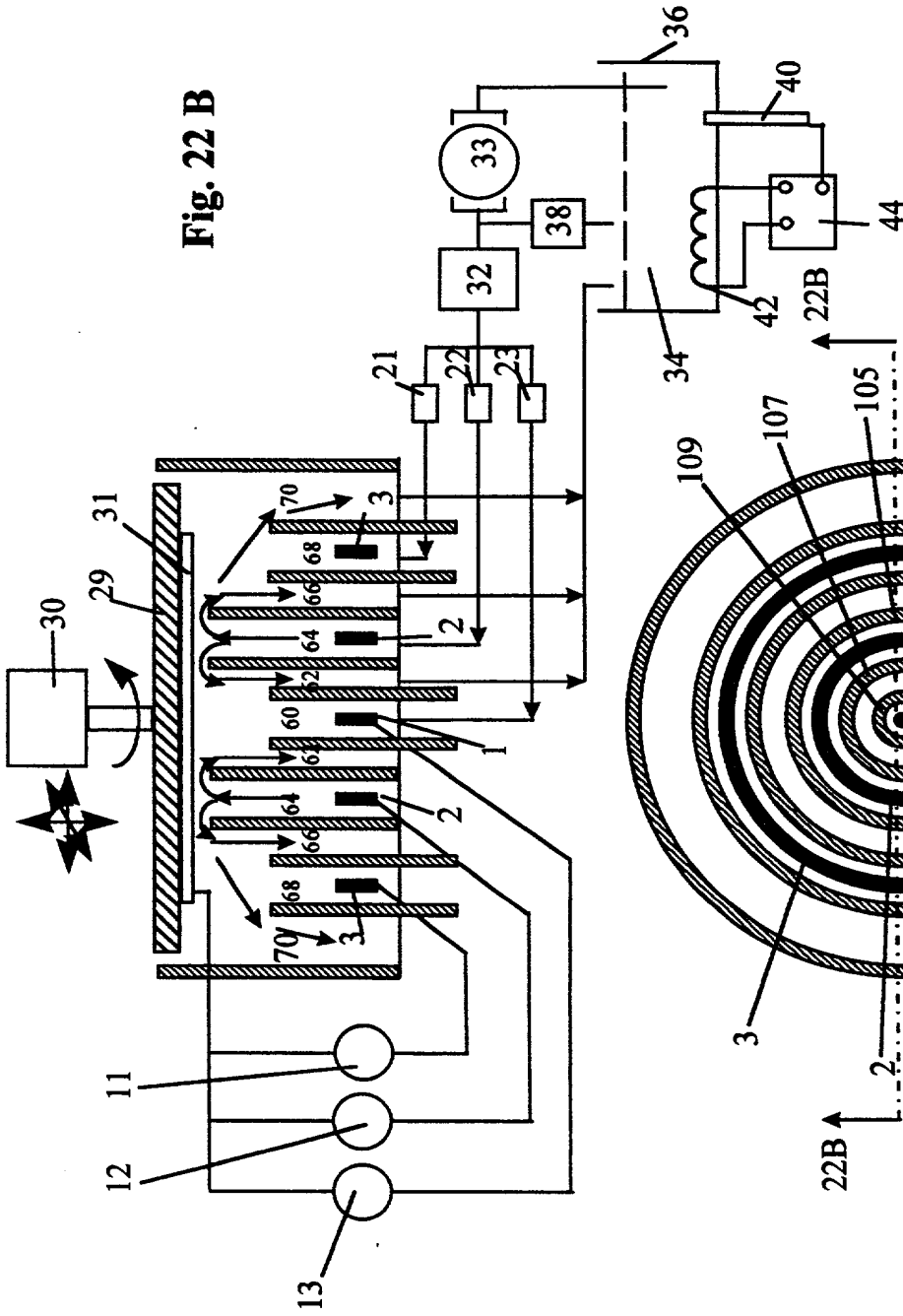


Fig. 22 B

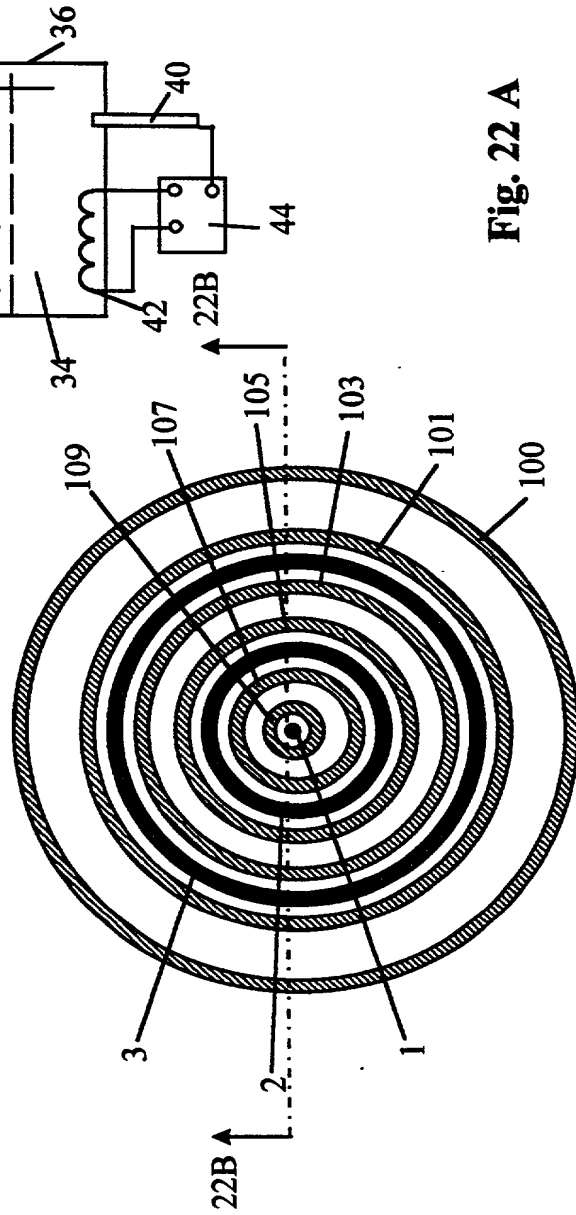


Fig. 22 A

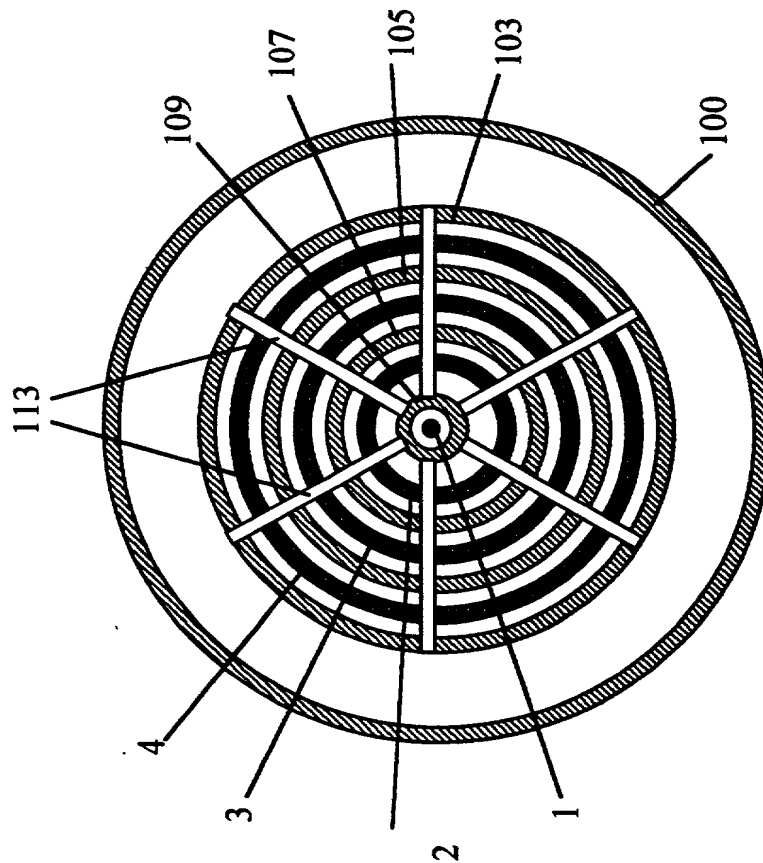


Fig. 23 A

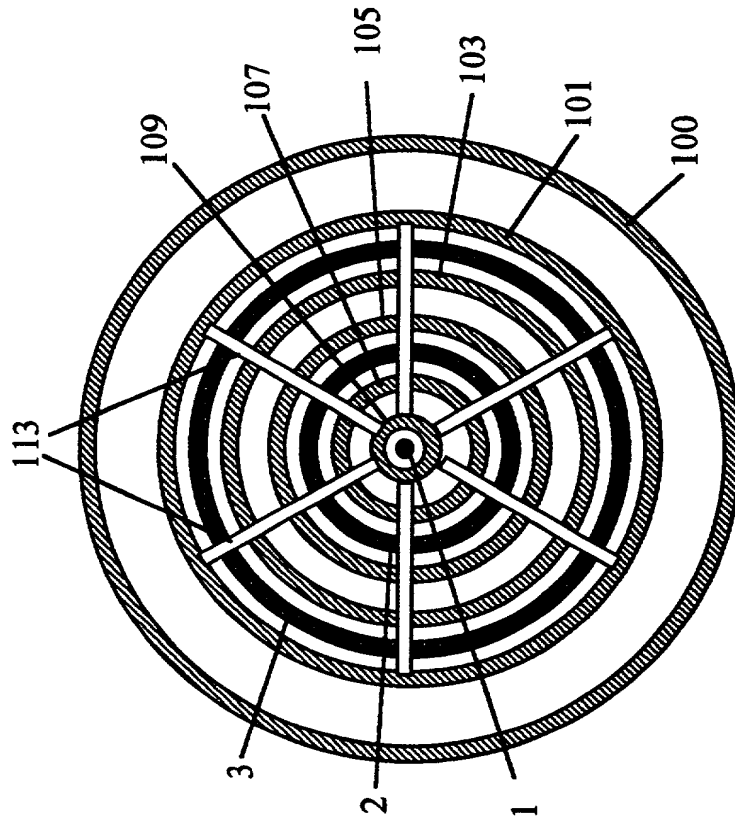


Fig. 23 B

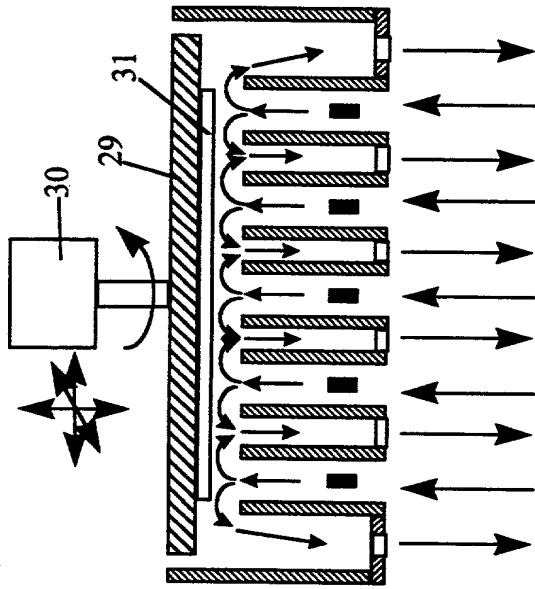


Fig. 24 B

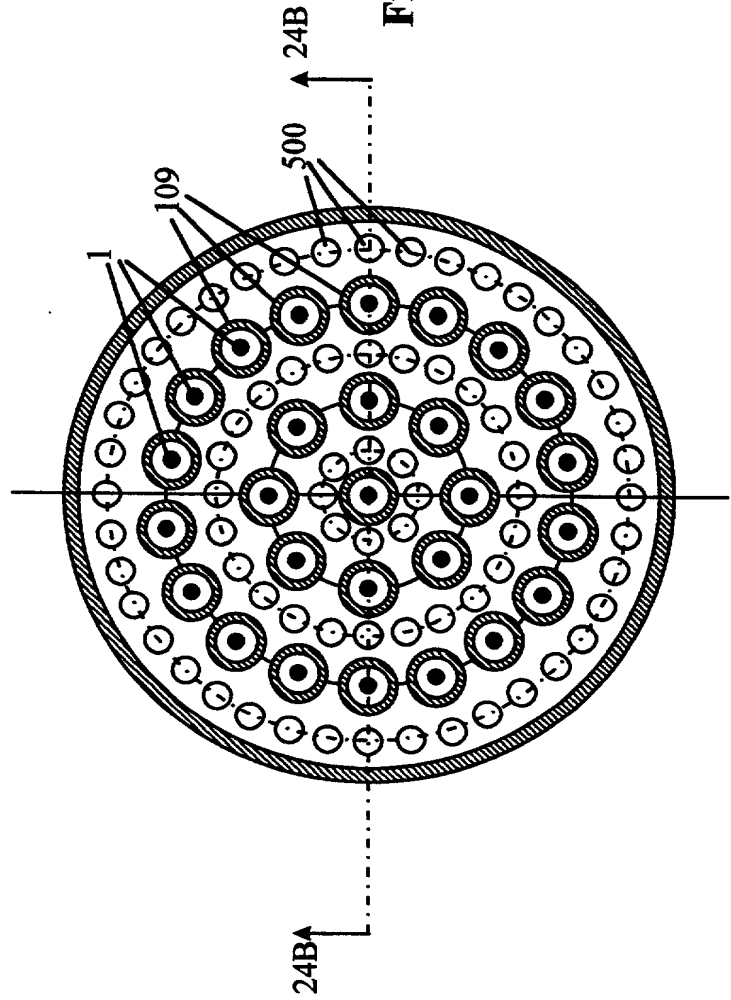


Fig. 24 A

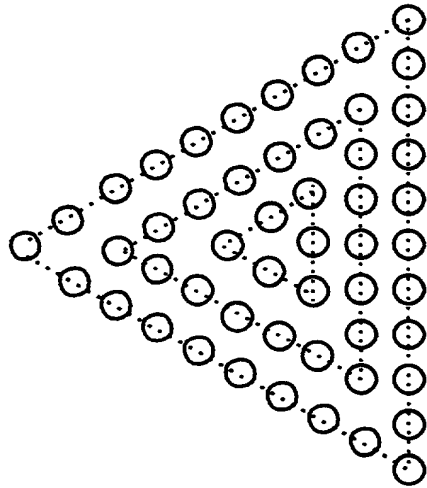


Fig. 25 A

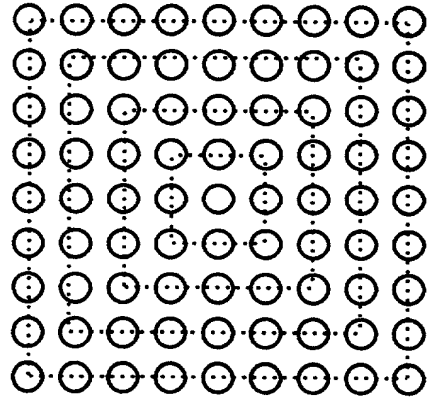


Fig. 25 B

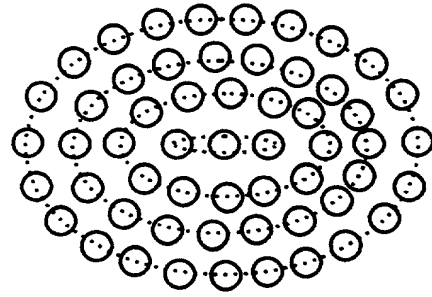


Fig. 25 C

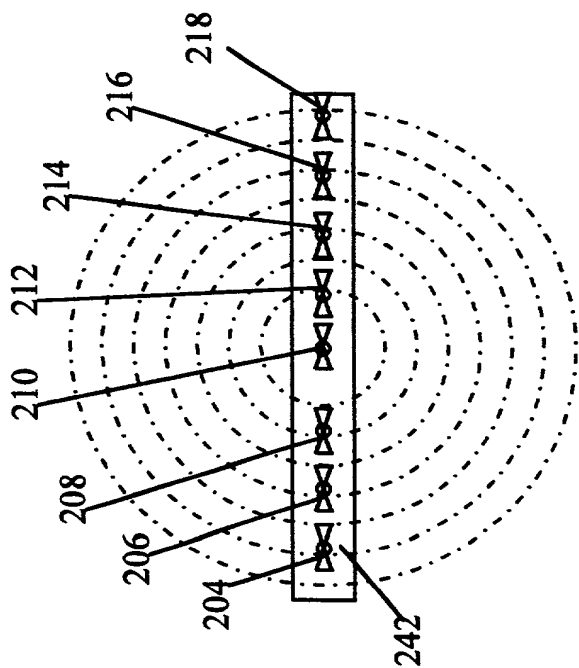


Fig. 27

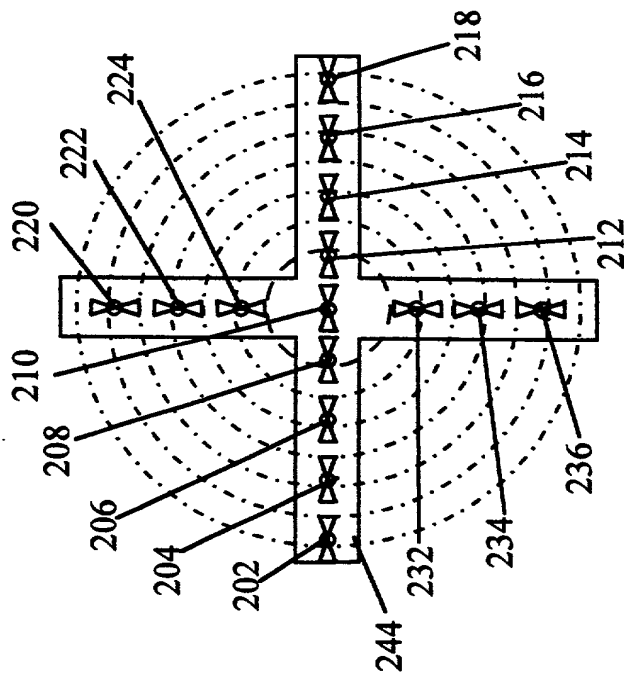


Fig. 28

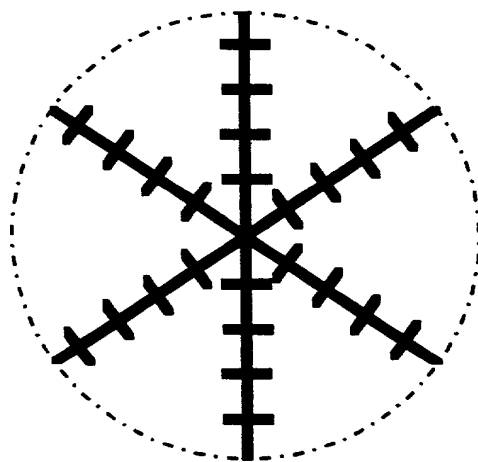


Fig. 29A

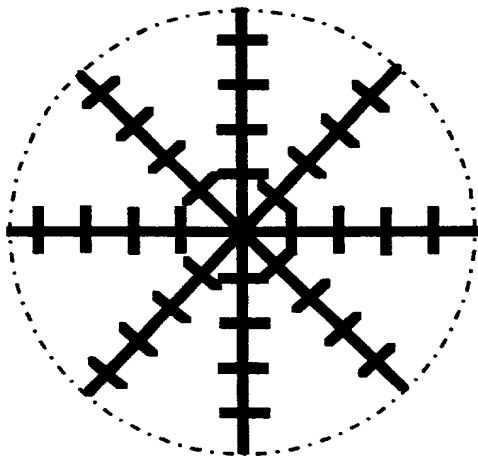


Fig. 29B

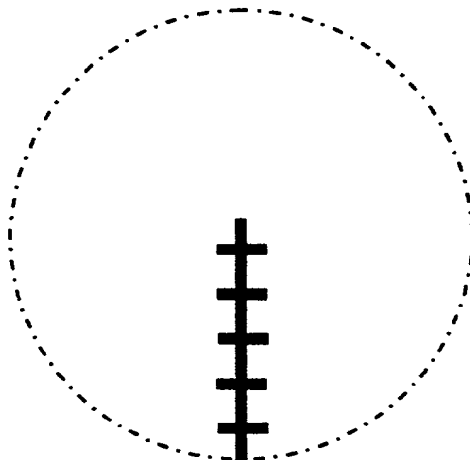


Fig. 29C

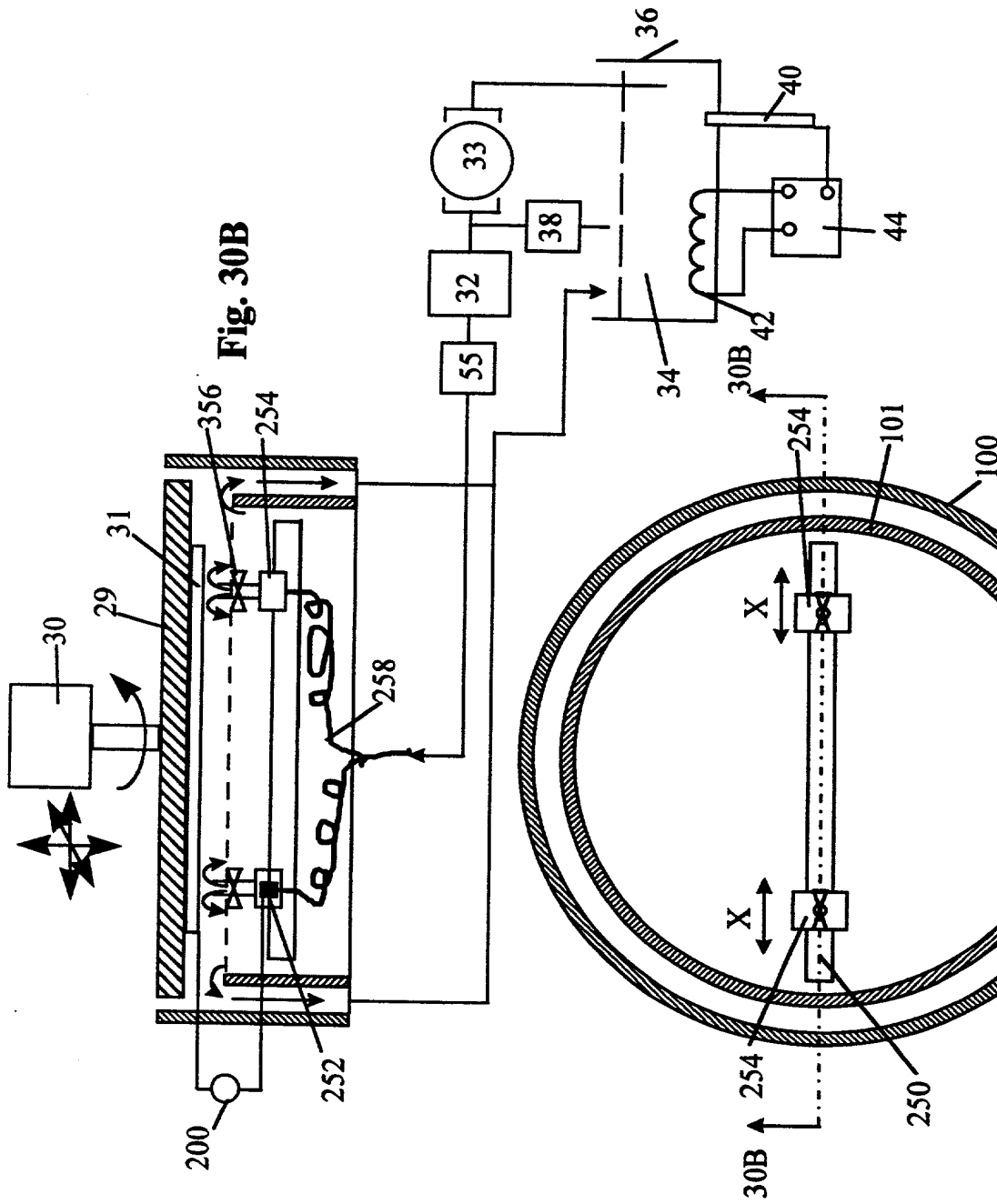
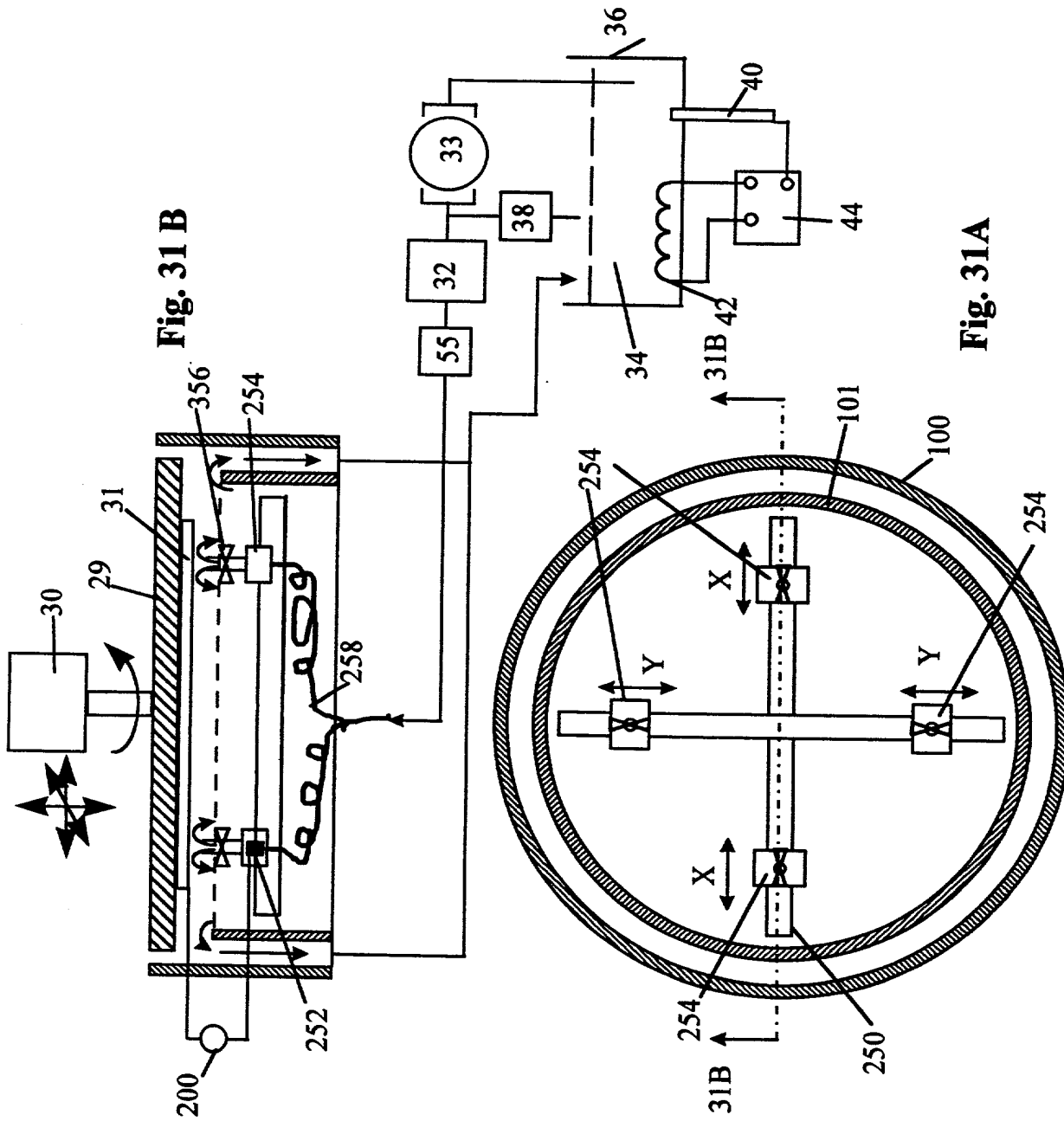


Fig. 30A

Fig. 30B



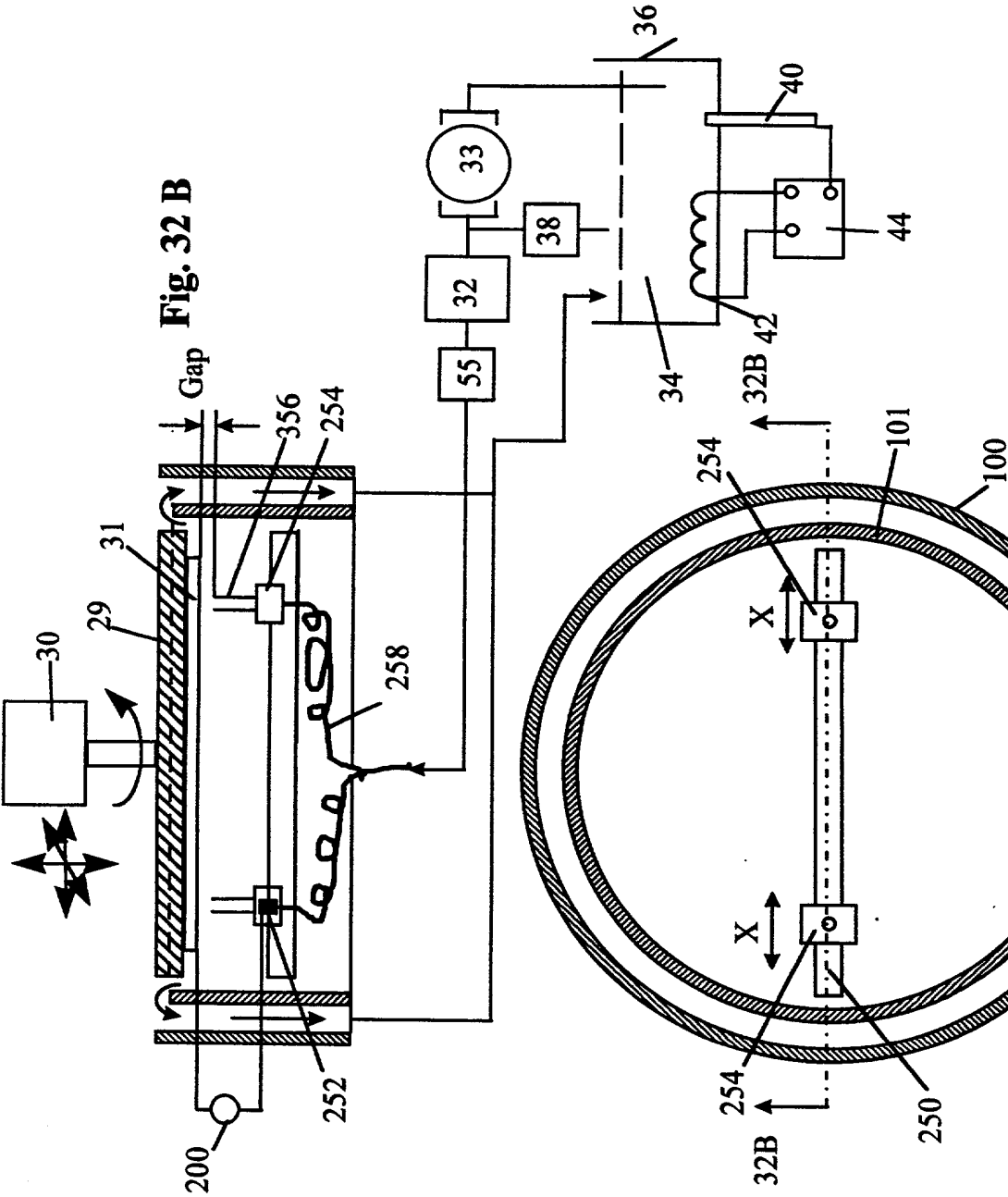


Fig. 32A

Fig. 32B

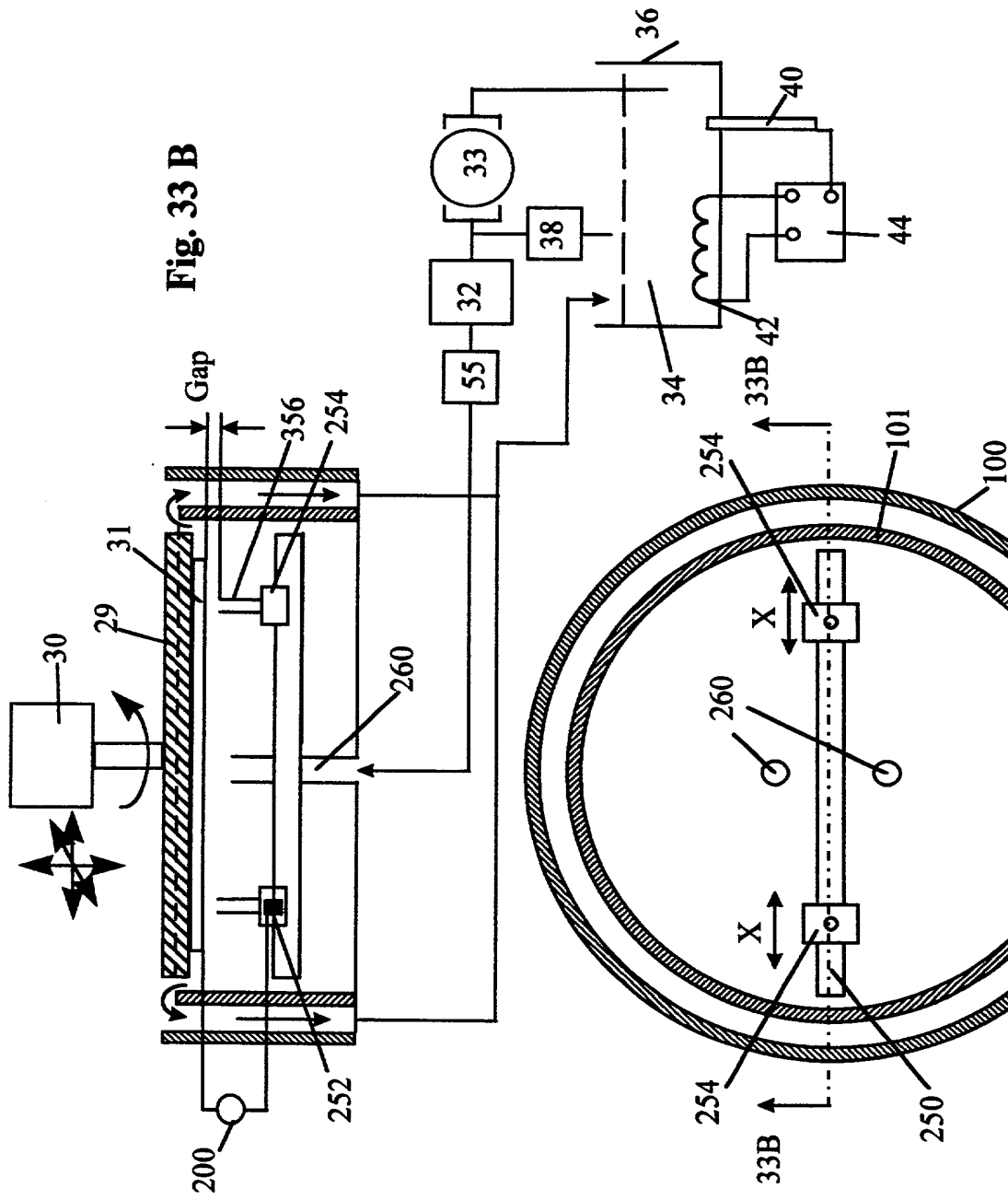


Fig. 33 B

Fig. 33A

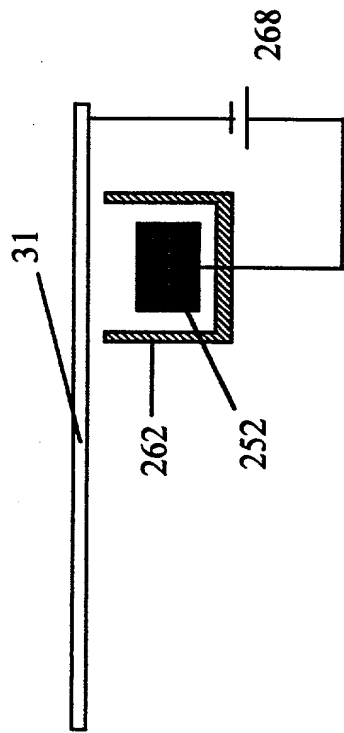


Fig. 34 A

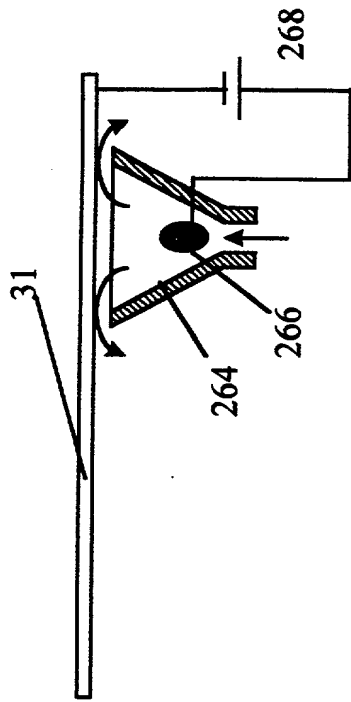


Fig. 34 B

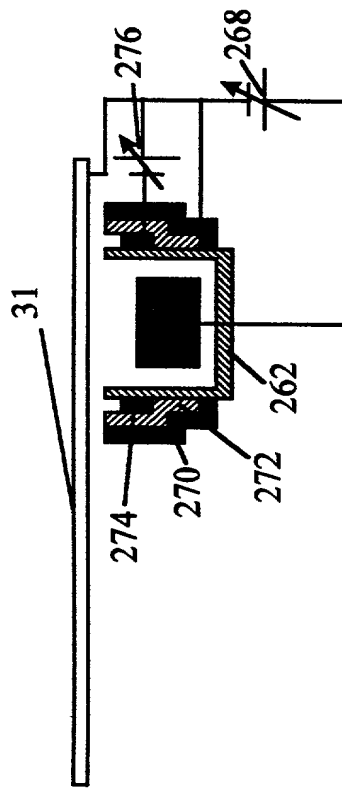


Fig. 34 C

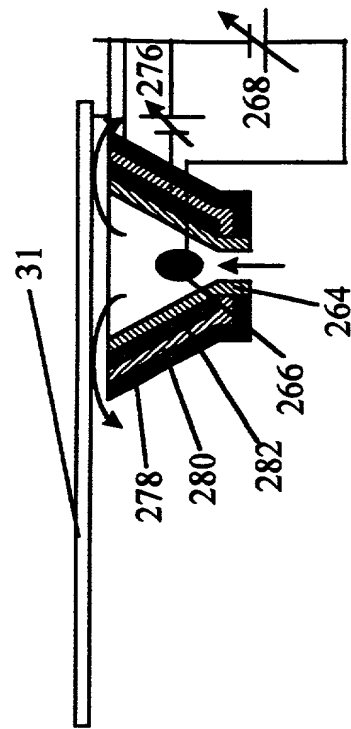


Fig. 34 D

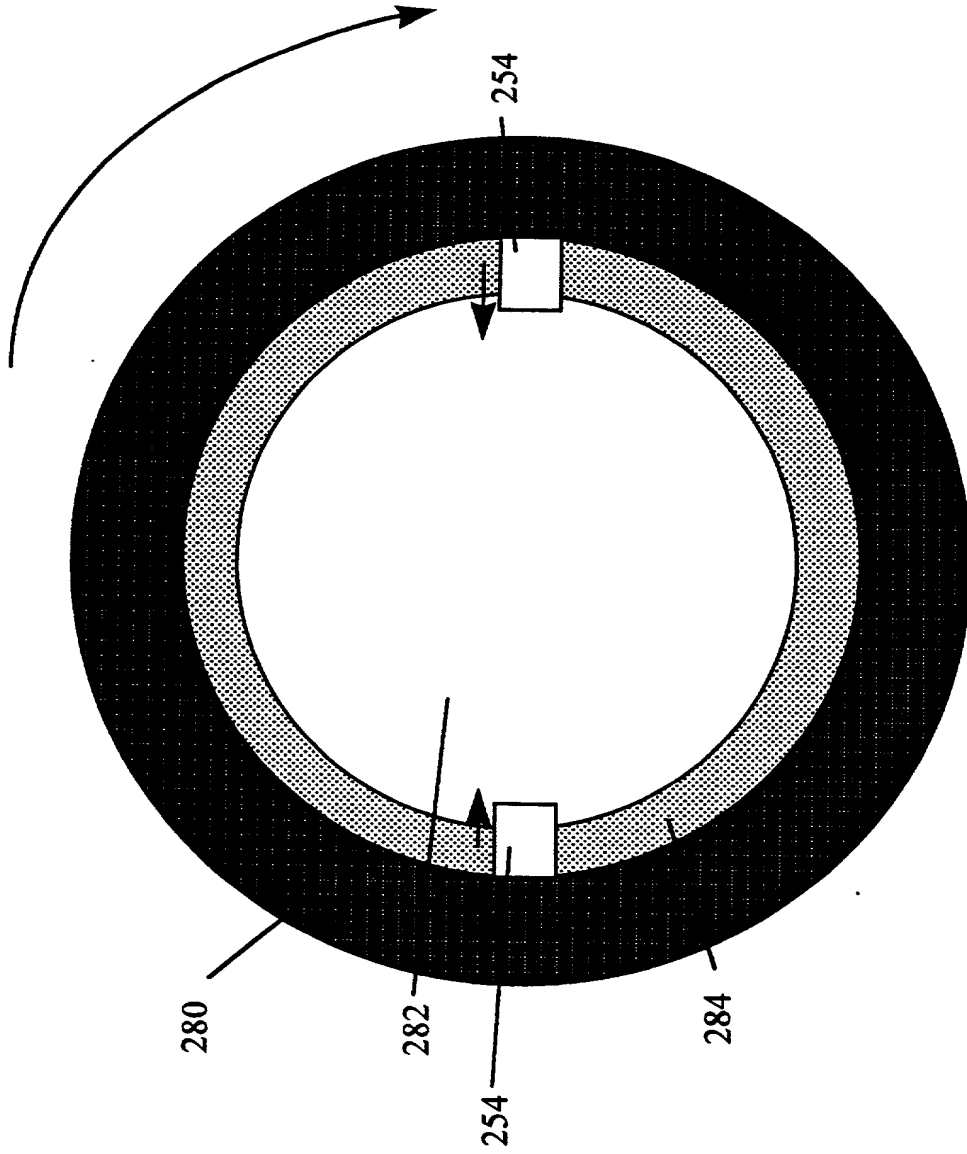


Fig. 35

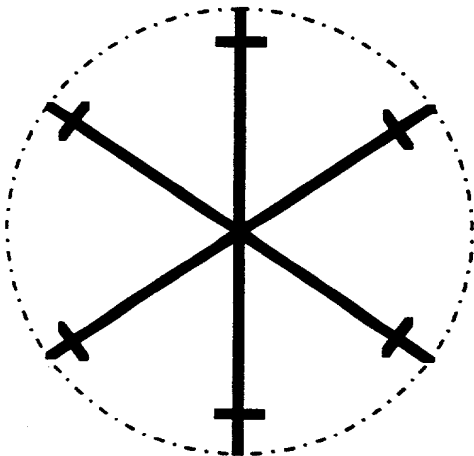


Fig. 36 A

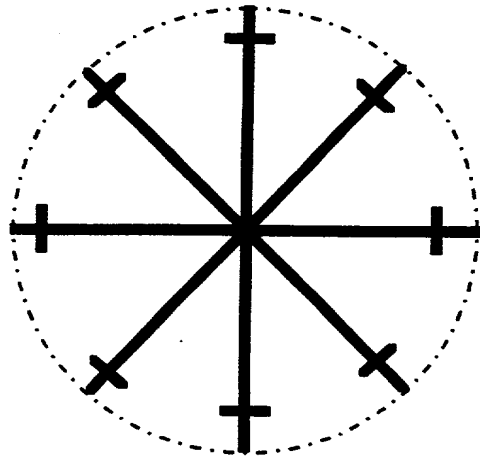


Fig. 36 B

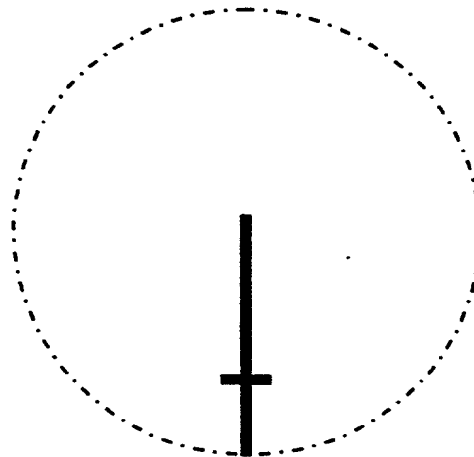


Fig. 36 C

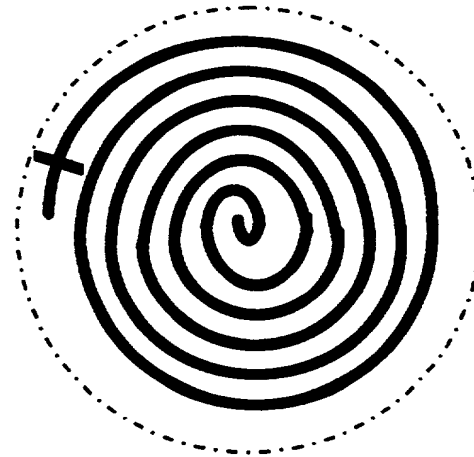


Fig. 36 D

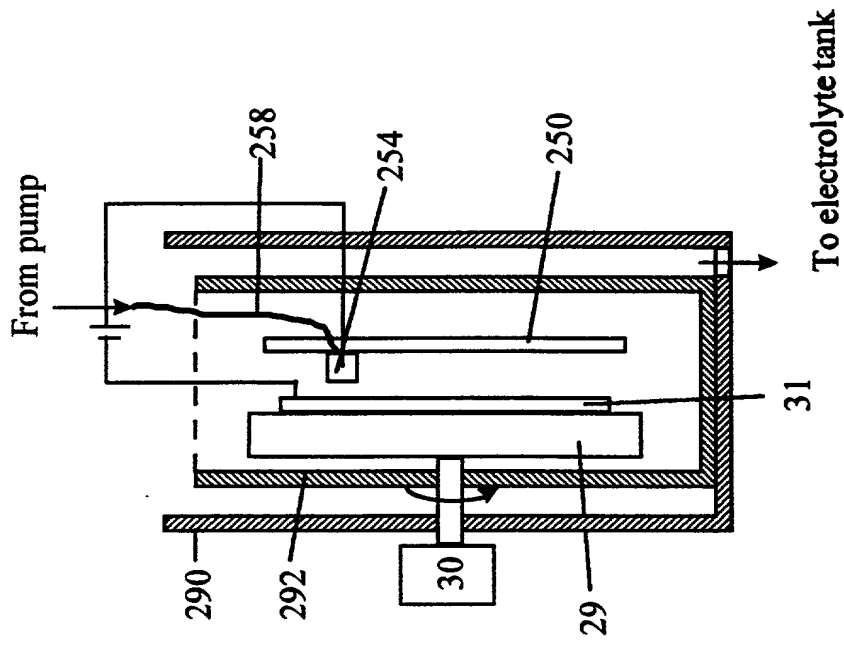


Fig. 37 B

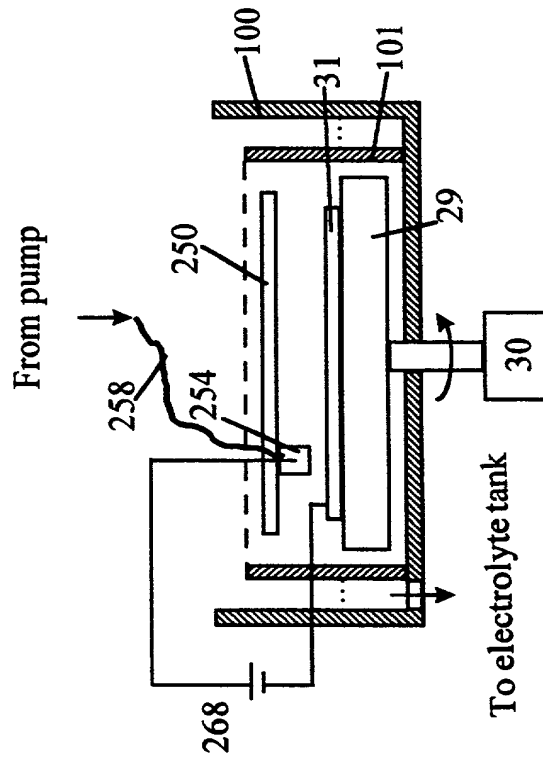
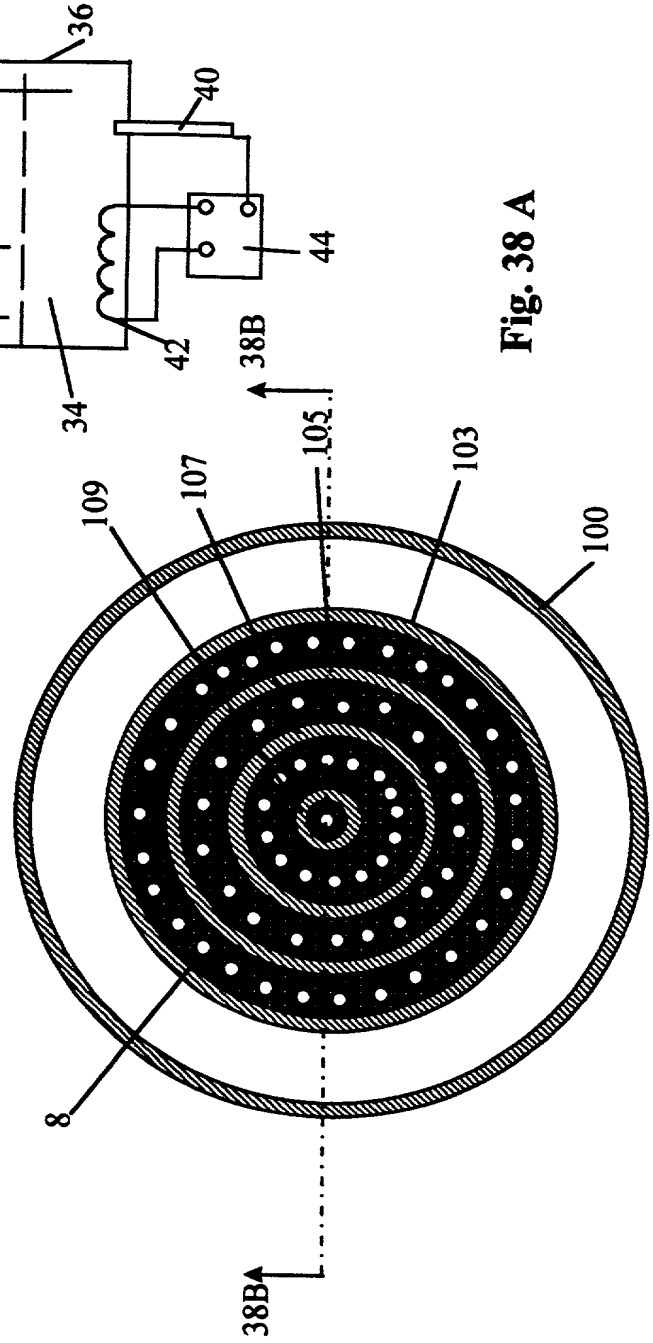
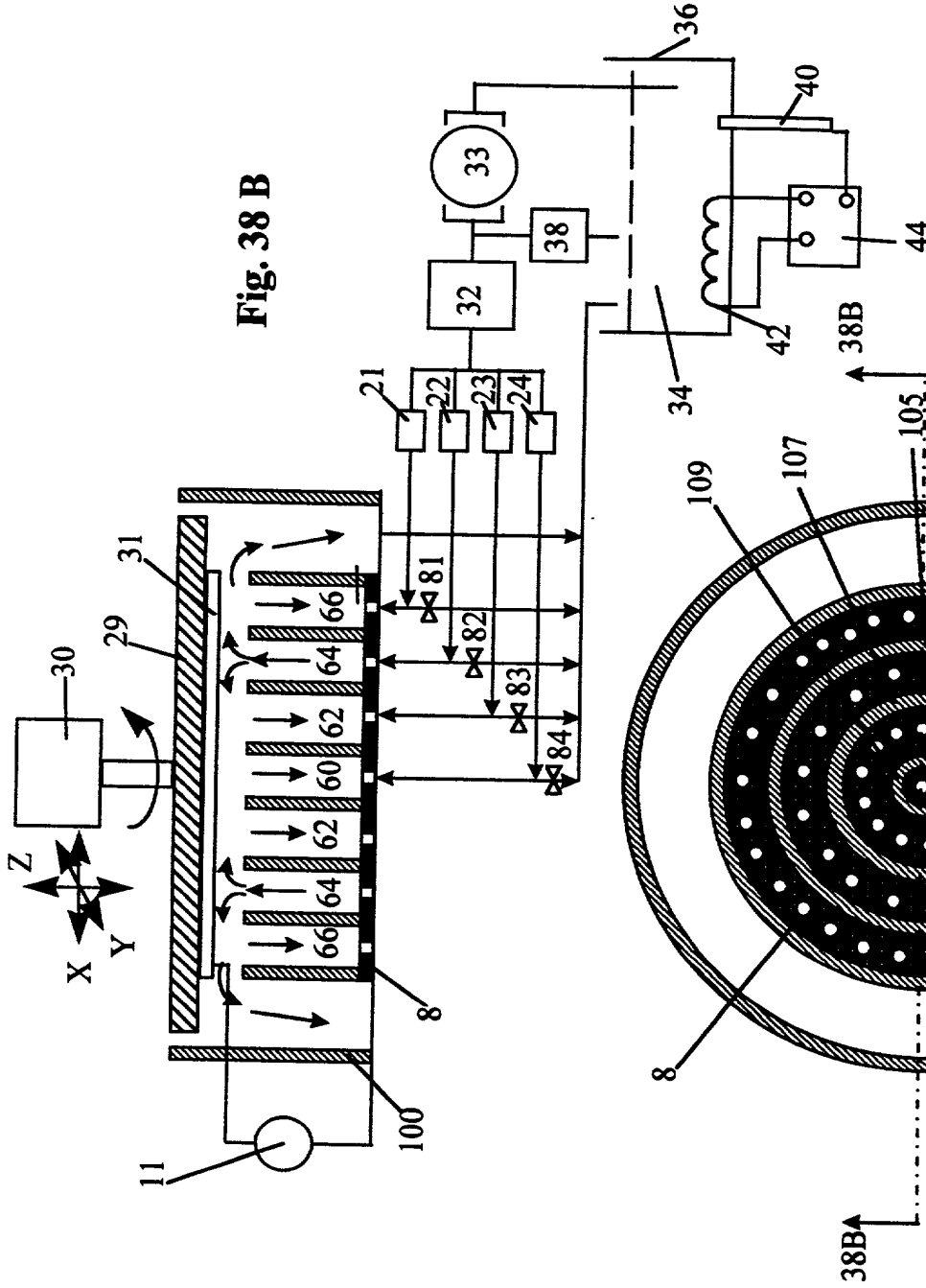


Fig. 37 A



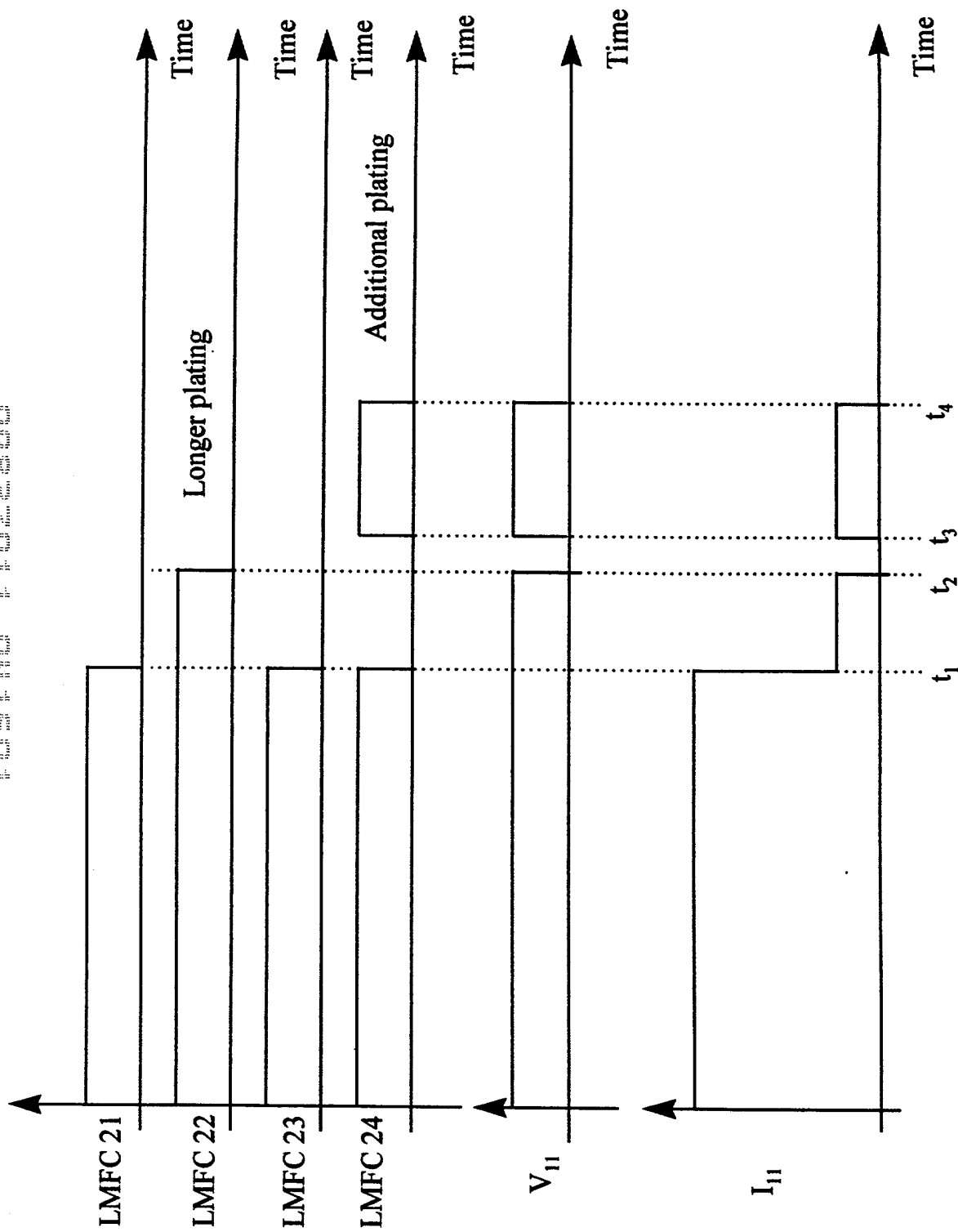


Fig. 39

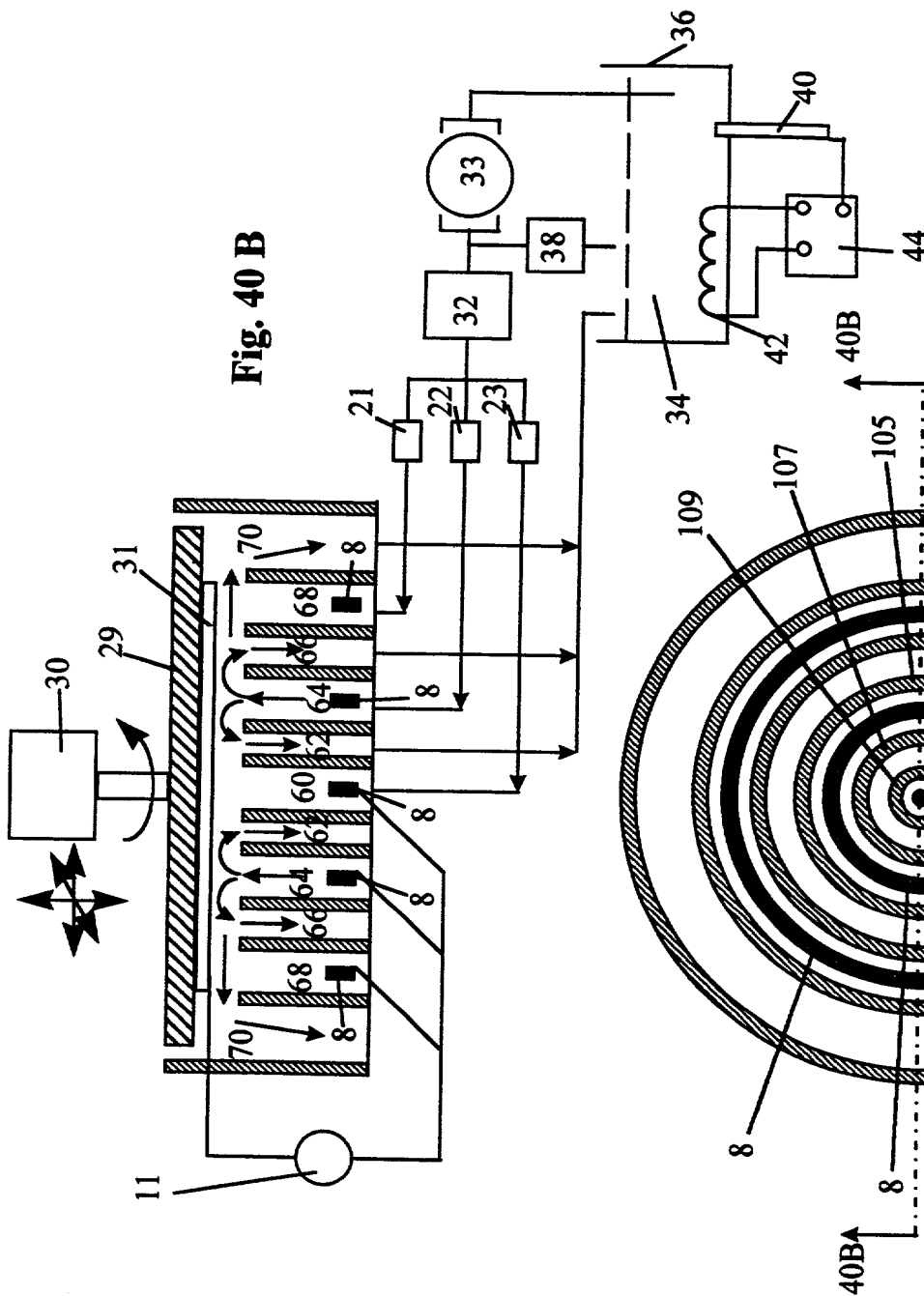


Fig. 40 B

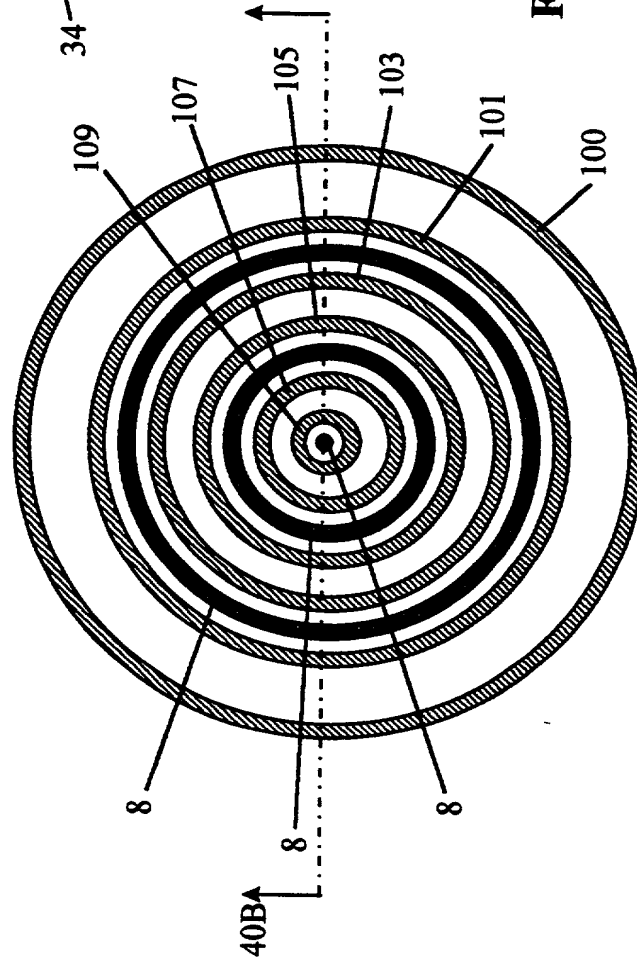
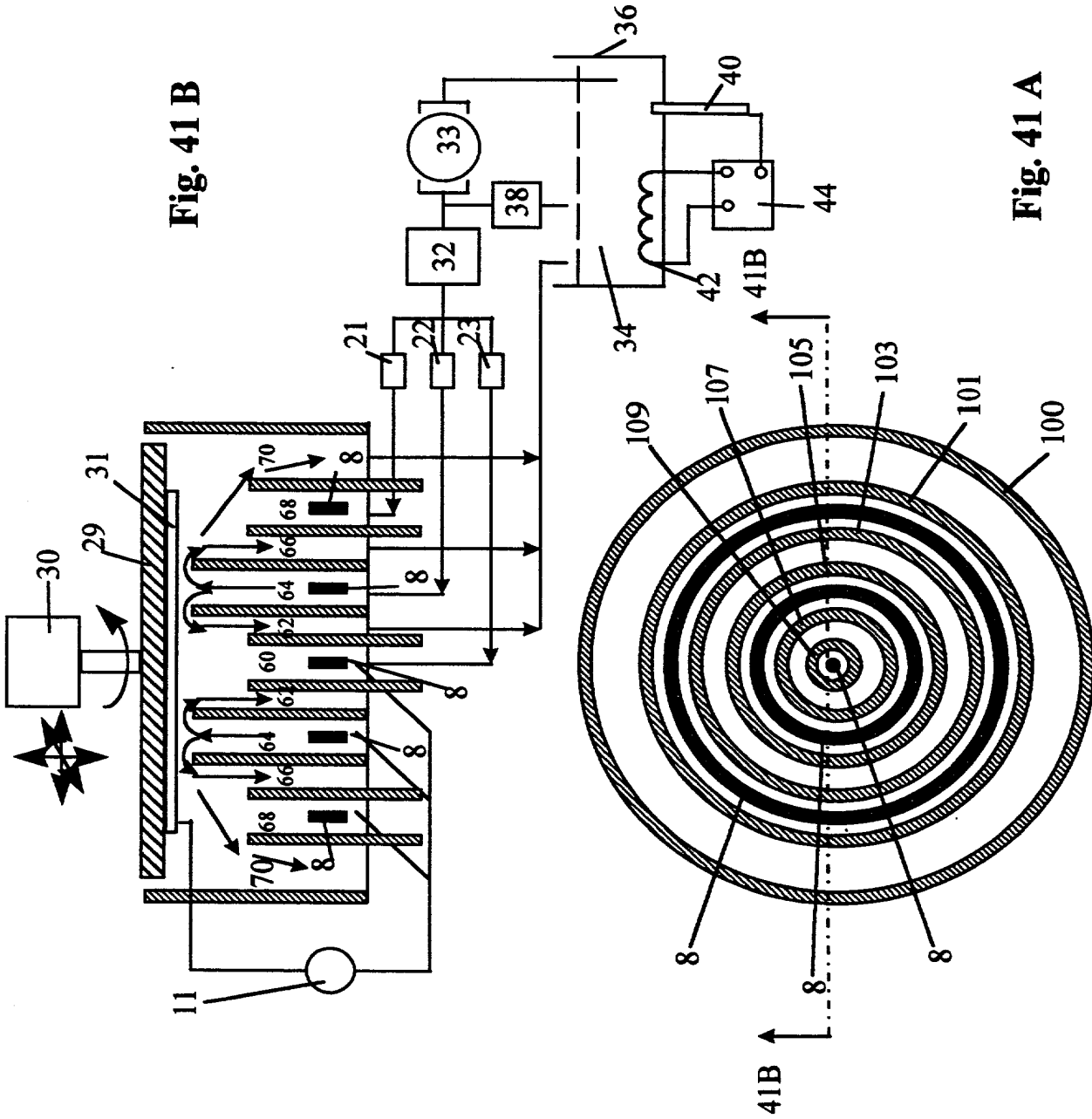


Fig. 40 A



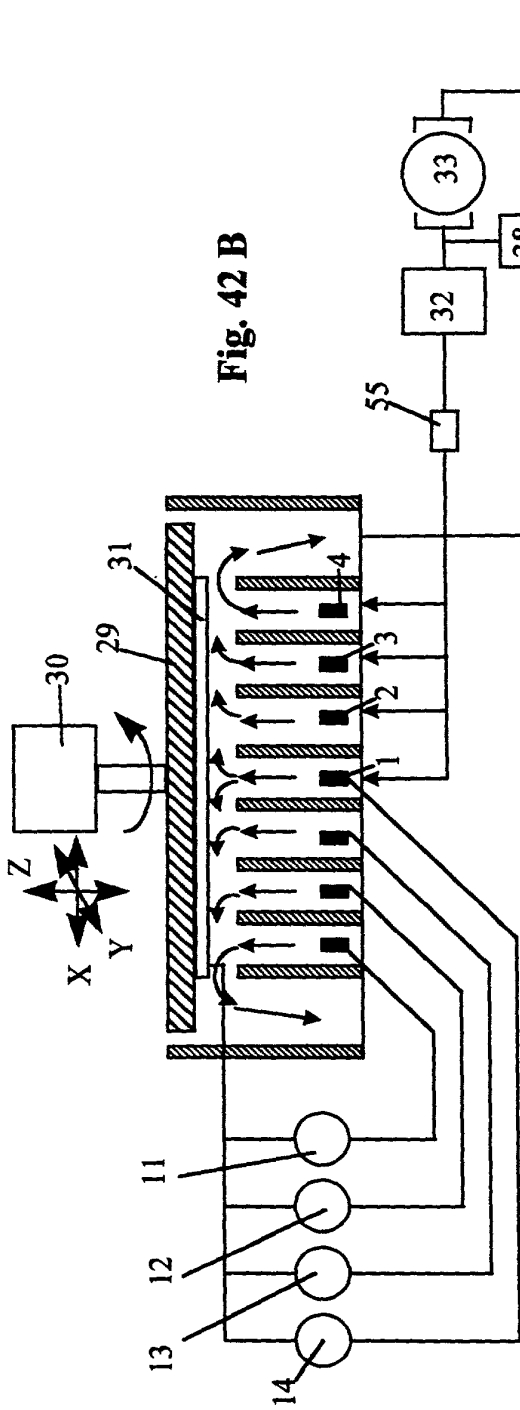


Fig. 42 B

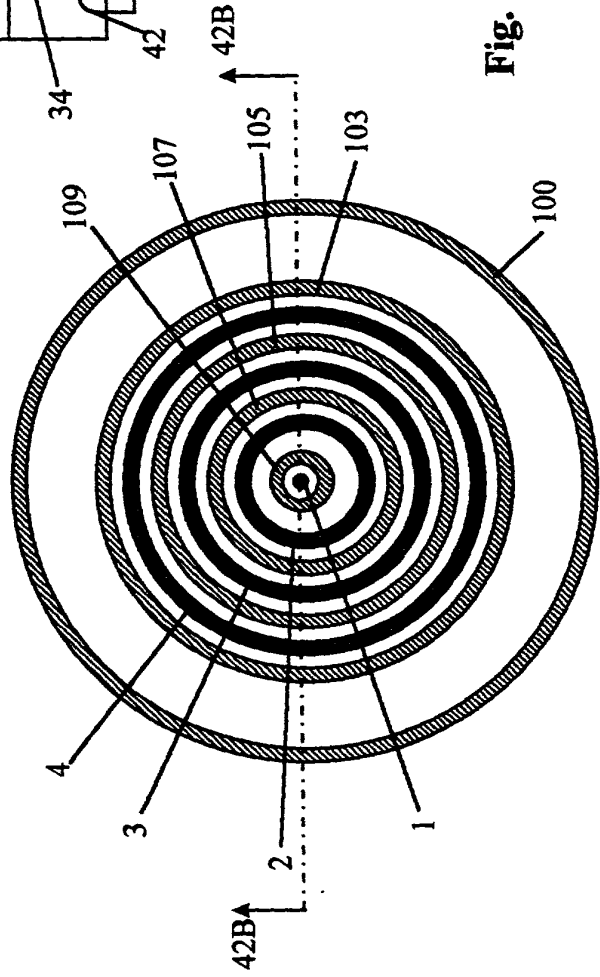


Fig. 42 A

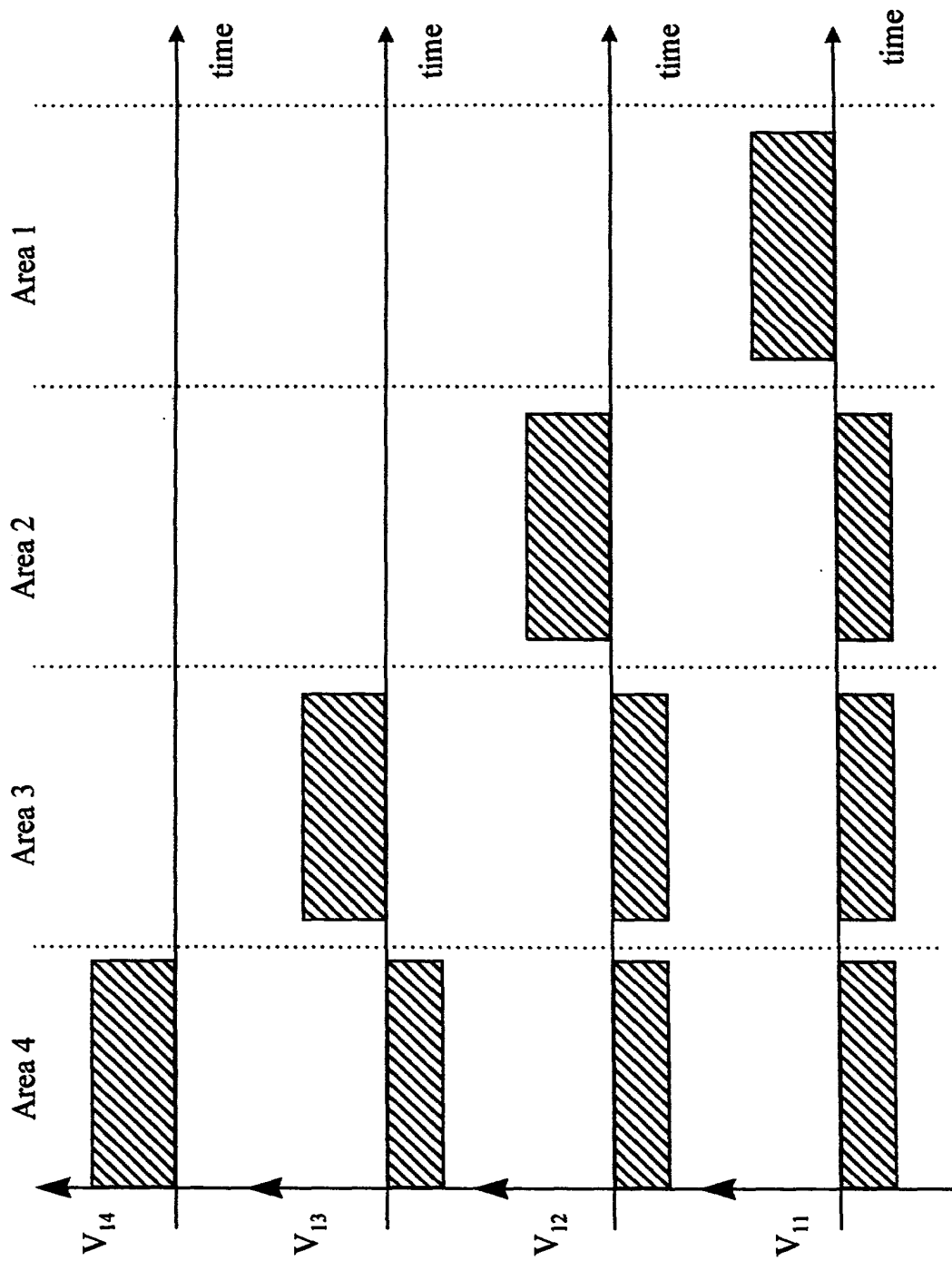


Fig. 43

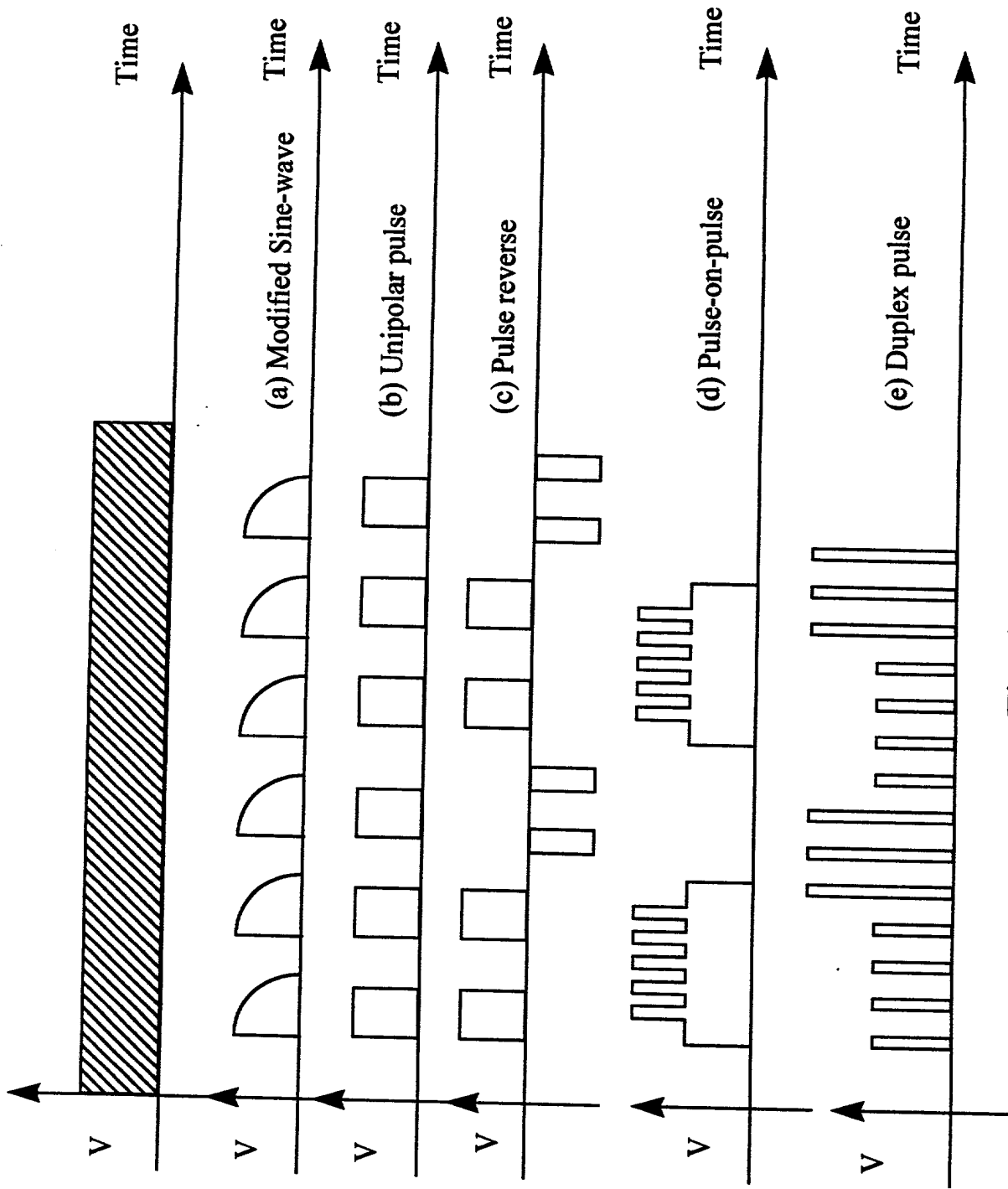


Fig. 44

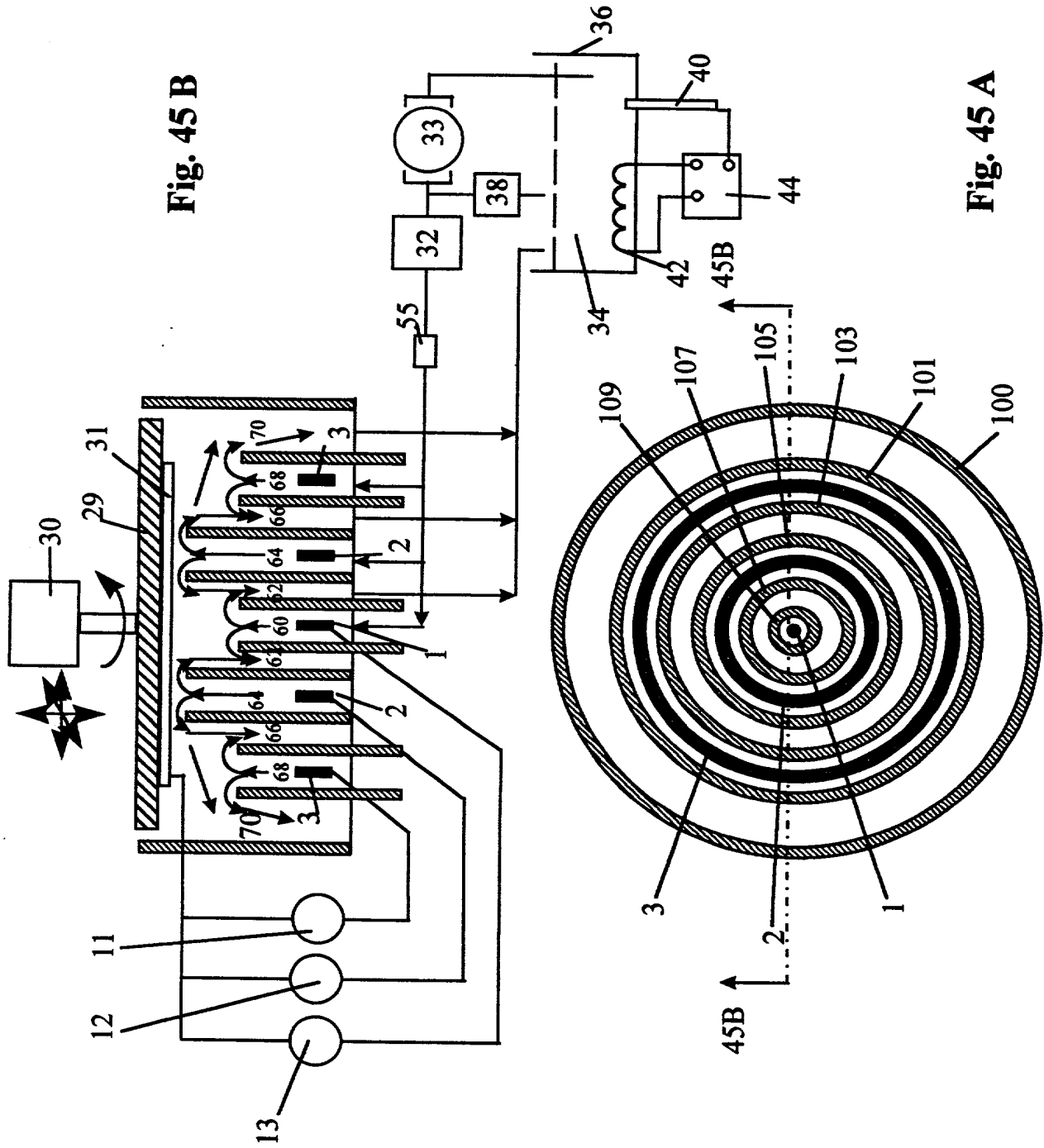


Fig. 45 B

Fig. 45 A

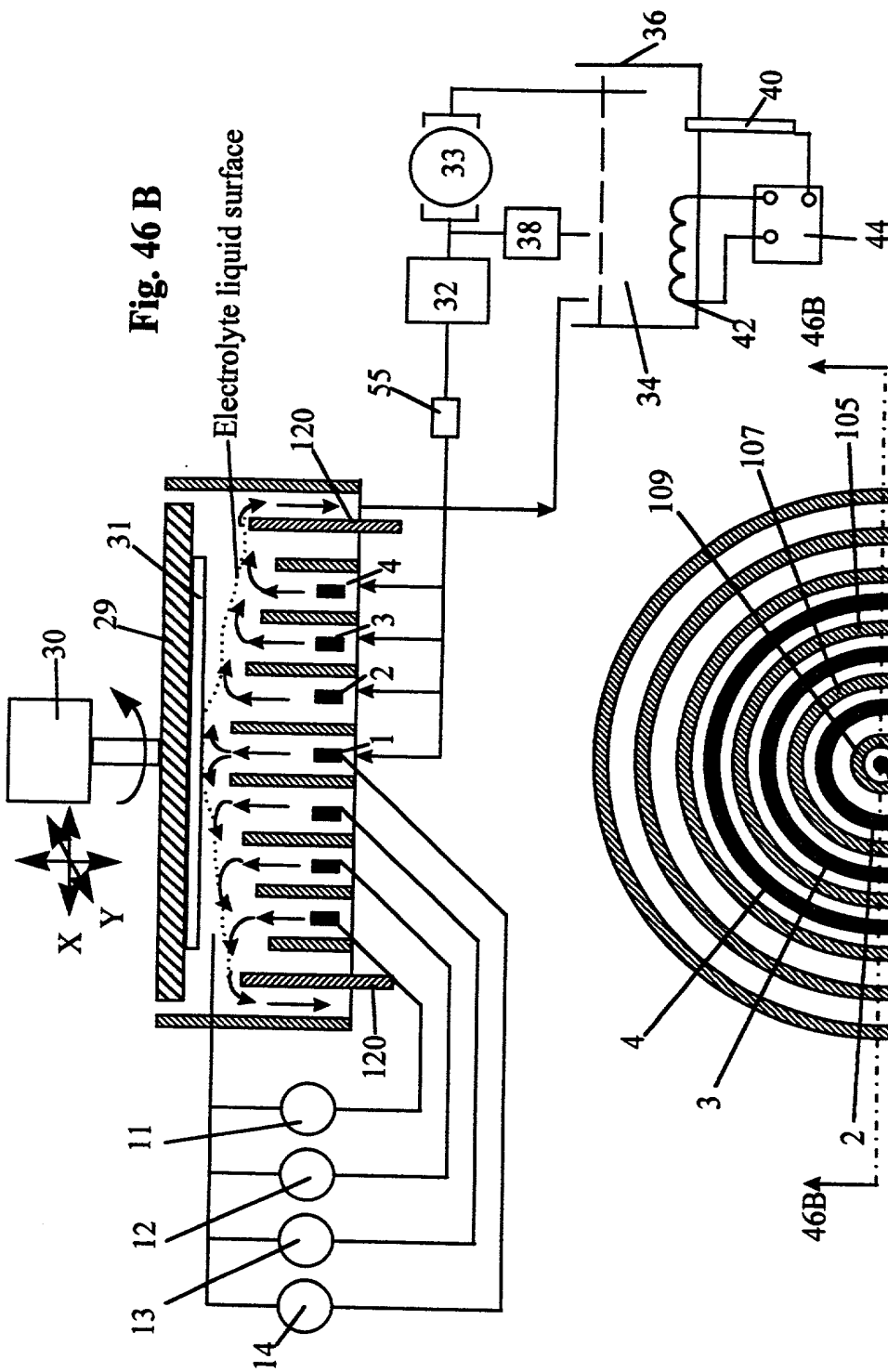


Fig. 46 B

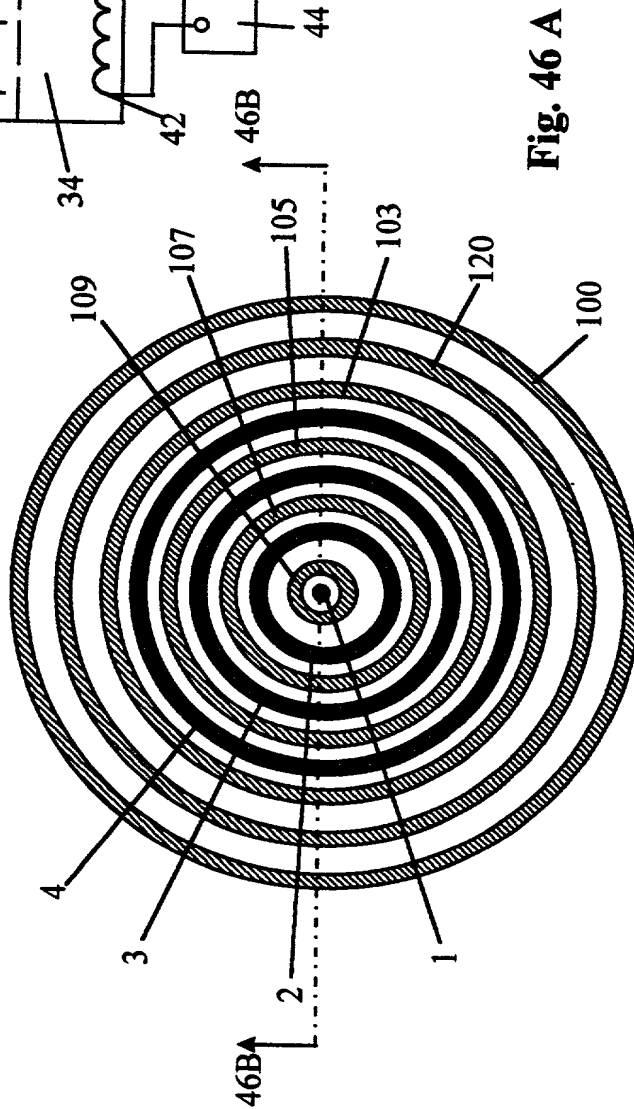


Fig. 46 A

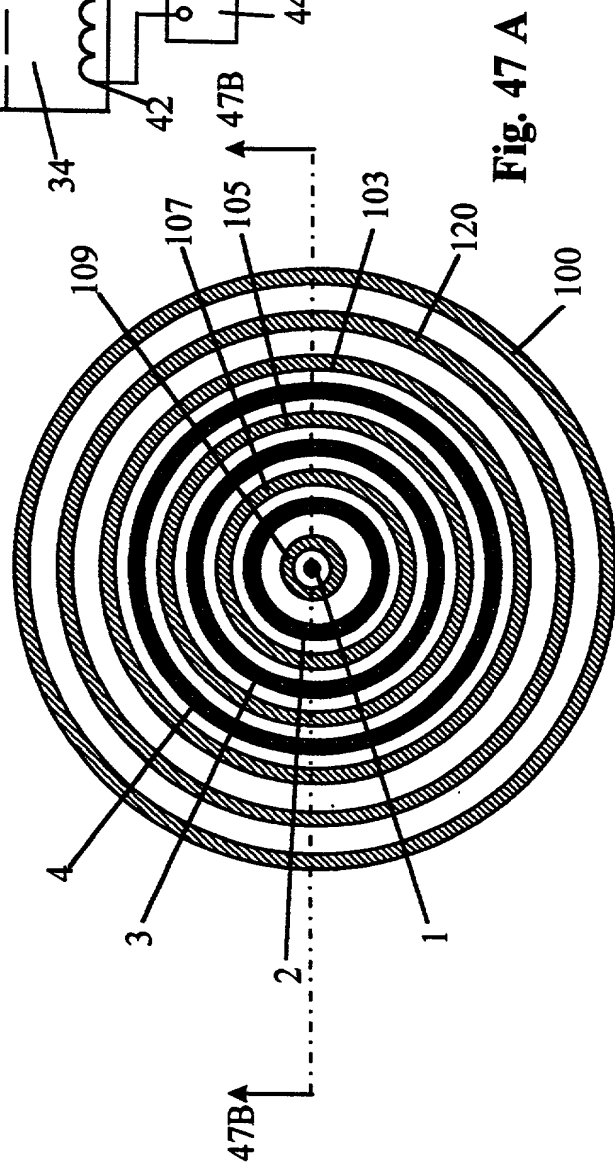
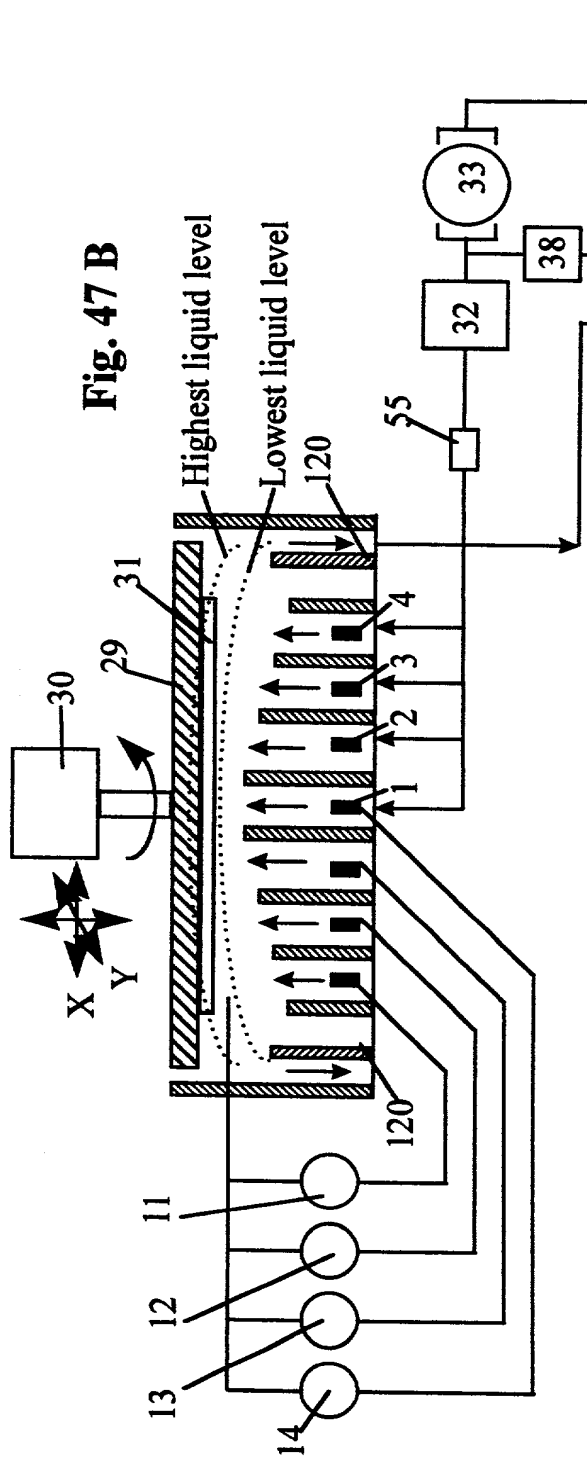


Fig. 48 B

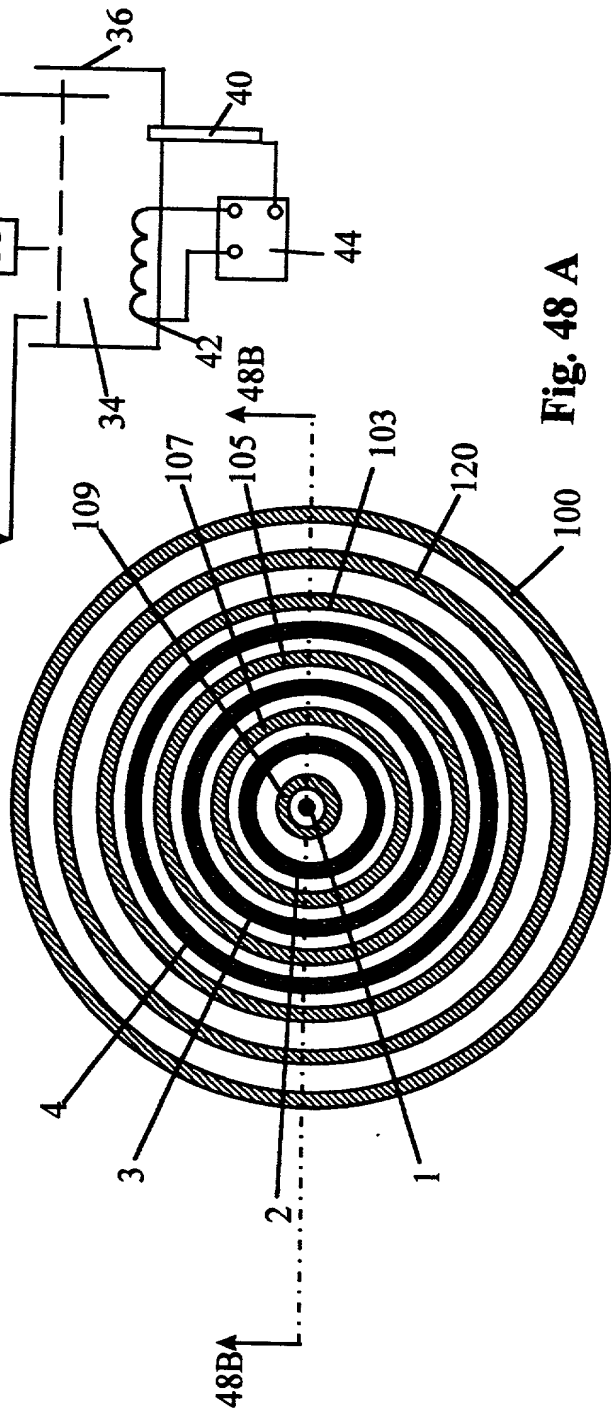
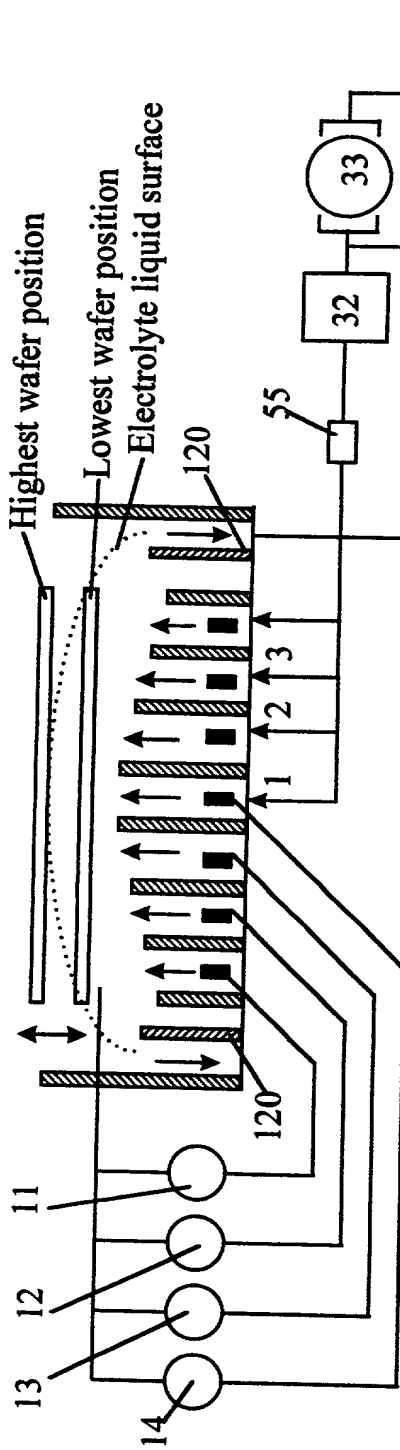


Fig. 48 A

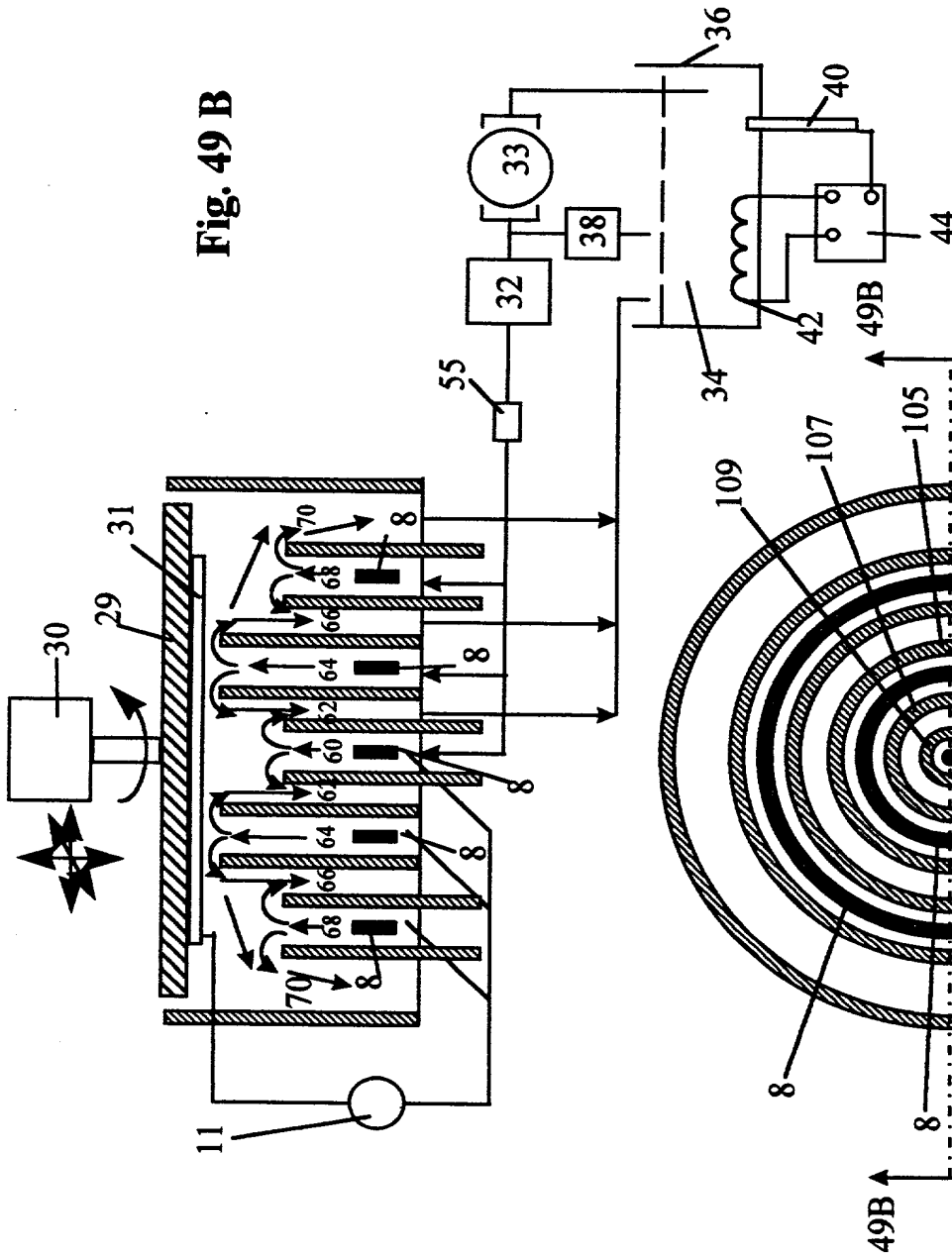


Fig. 49 B

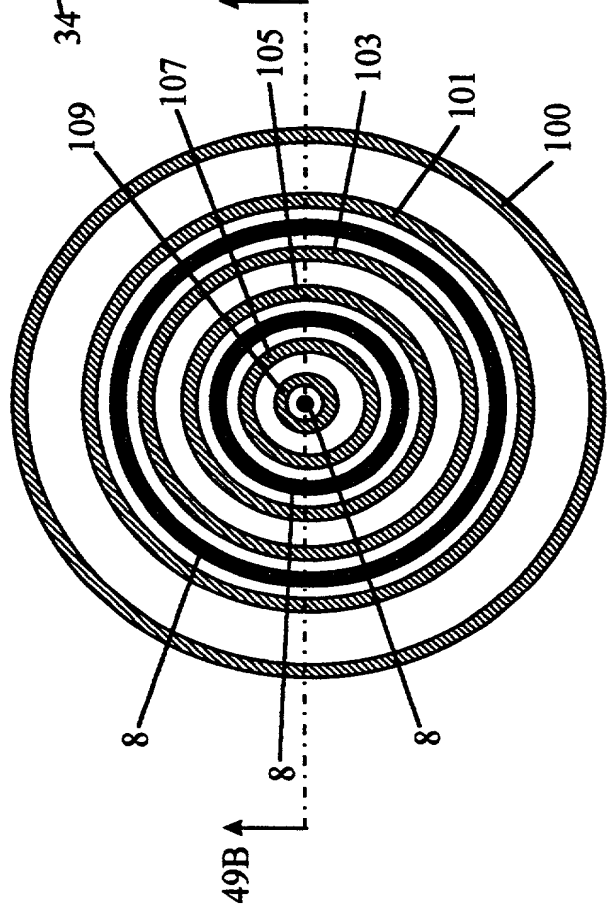


Fig. 49 A

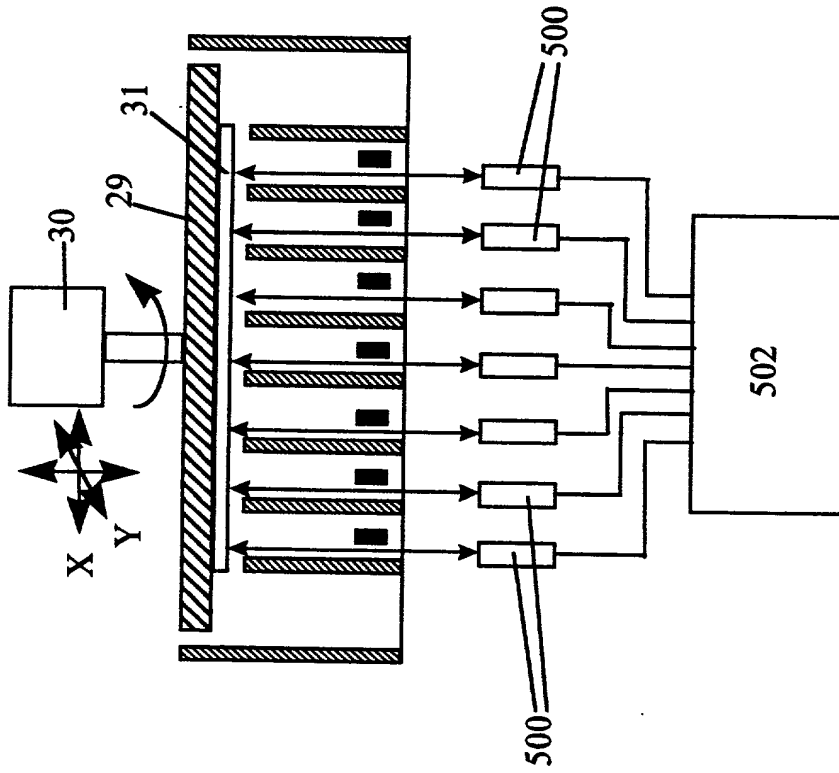
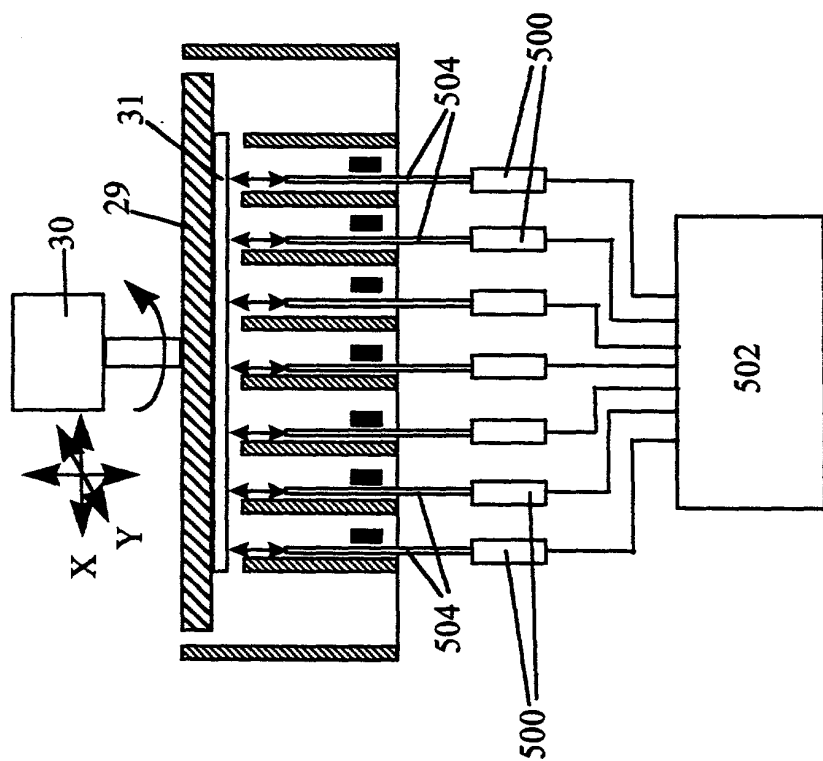
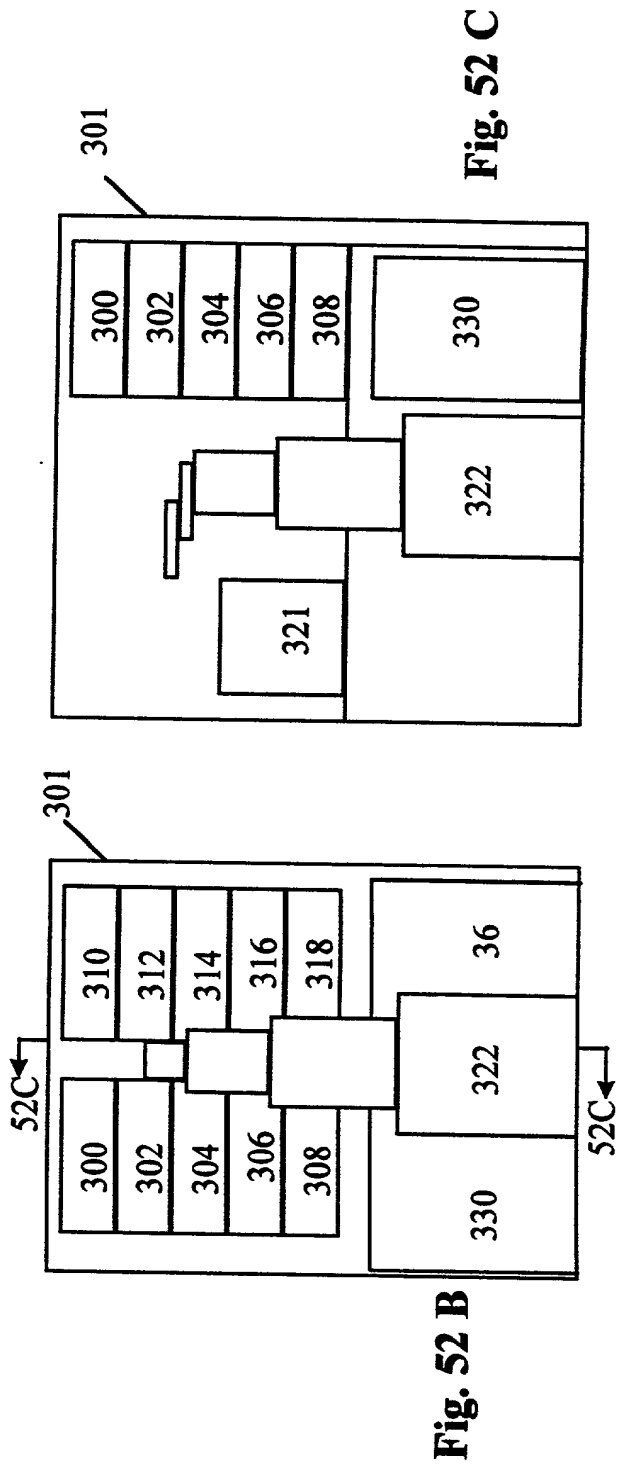
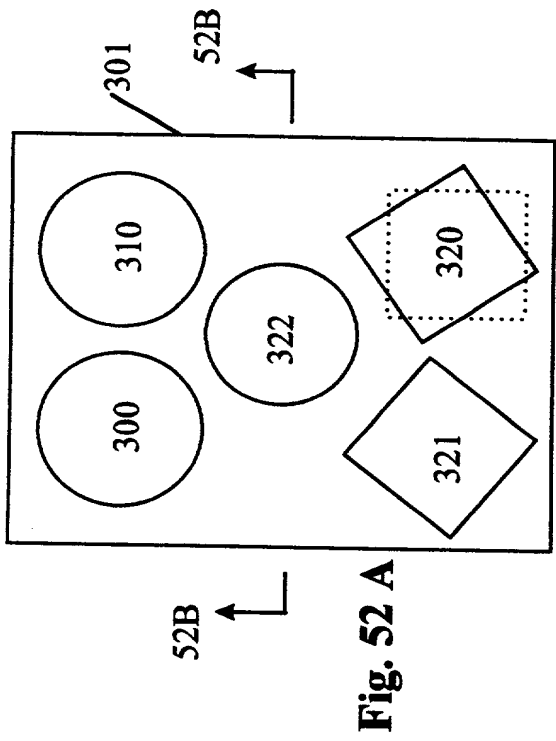


Fig. 50

**Fig. 51**



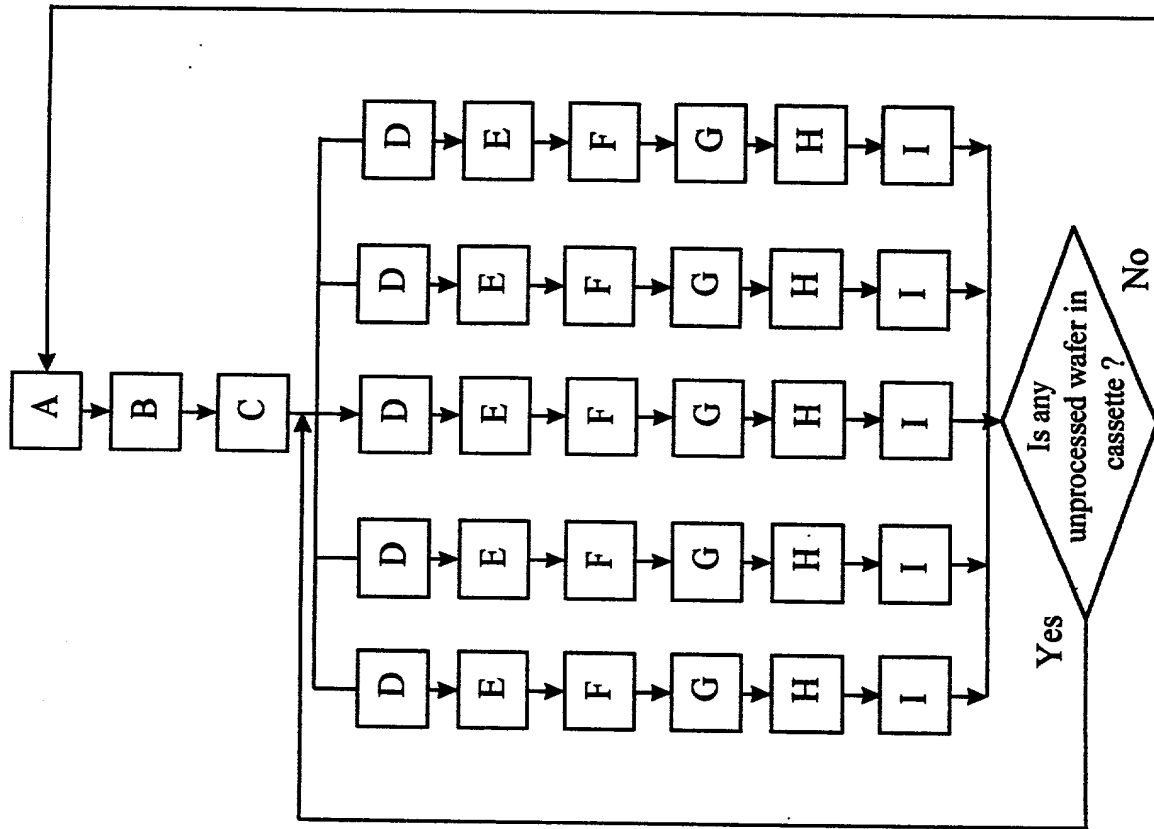
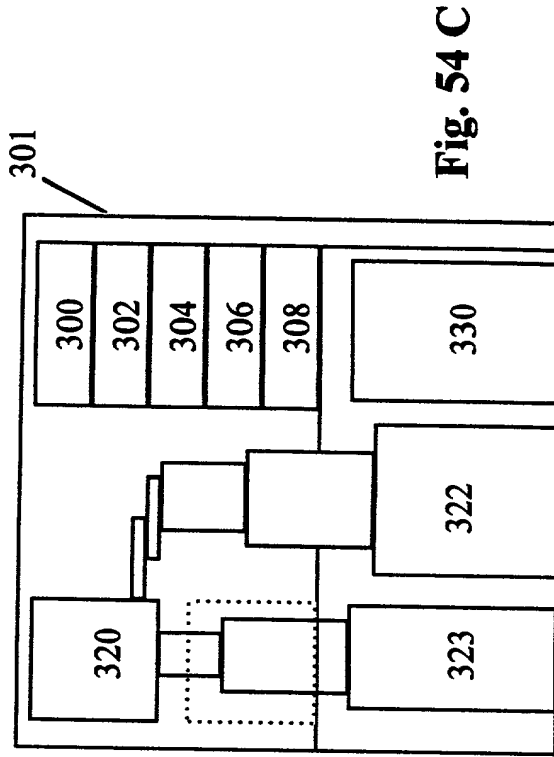
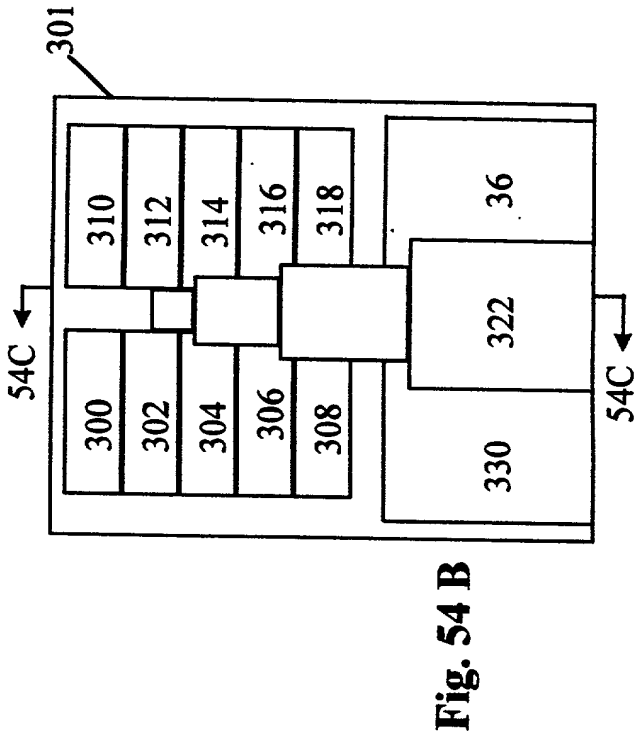
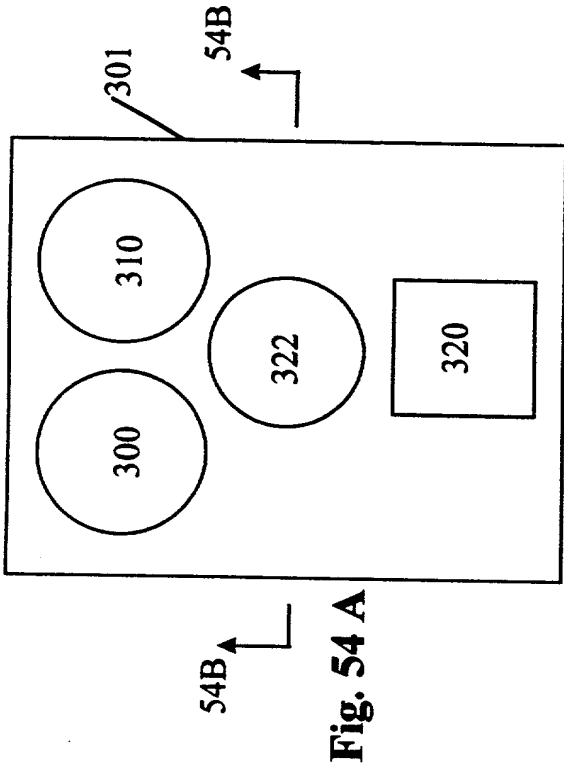


Fig. 53



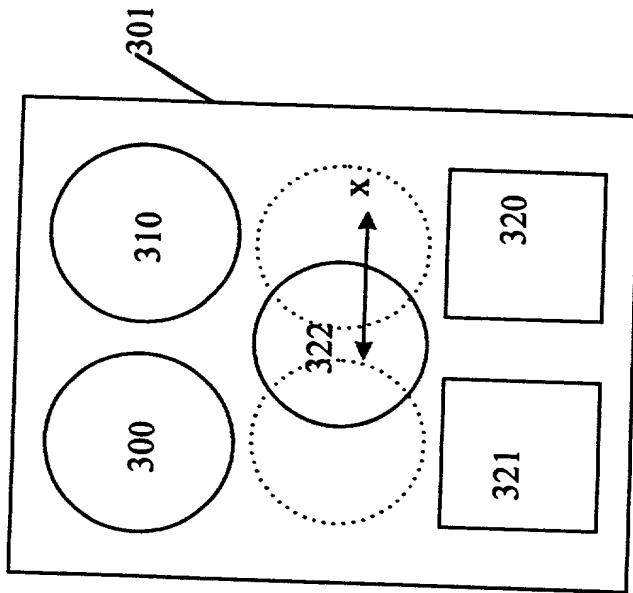


Fig. 55

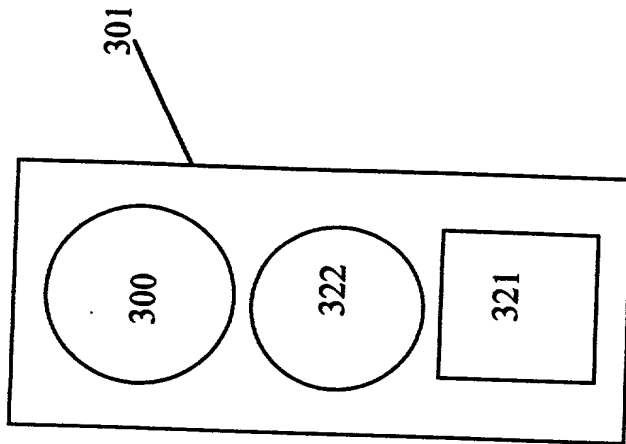
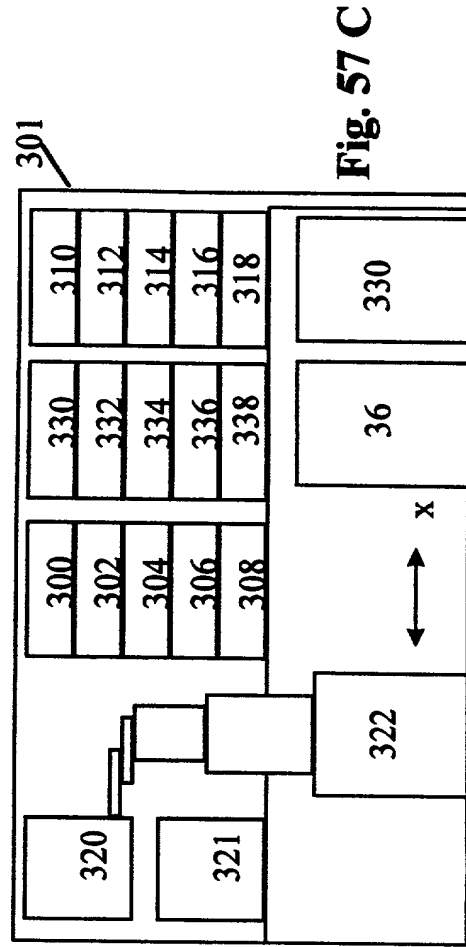
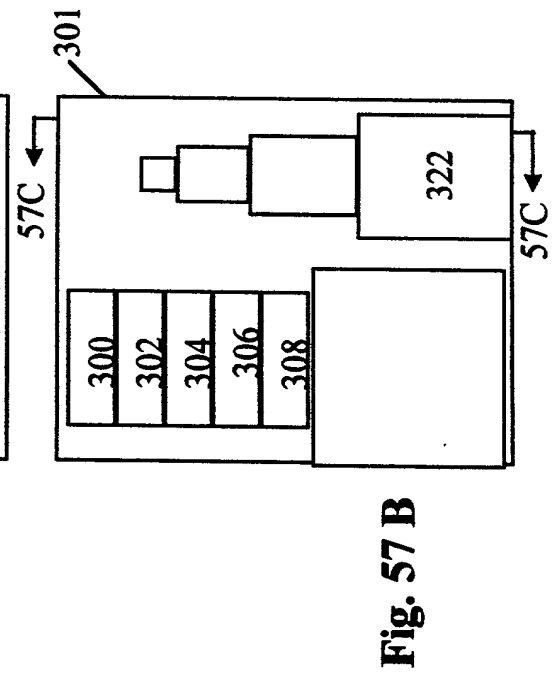
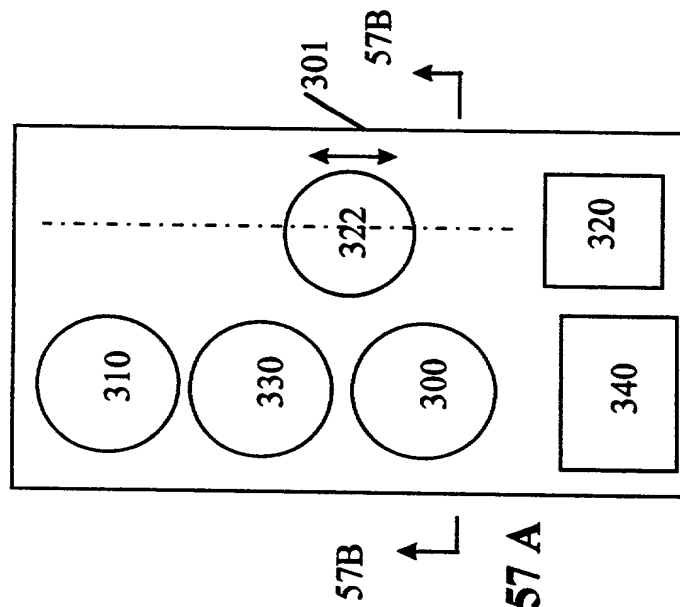


Fig. 56



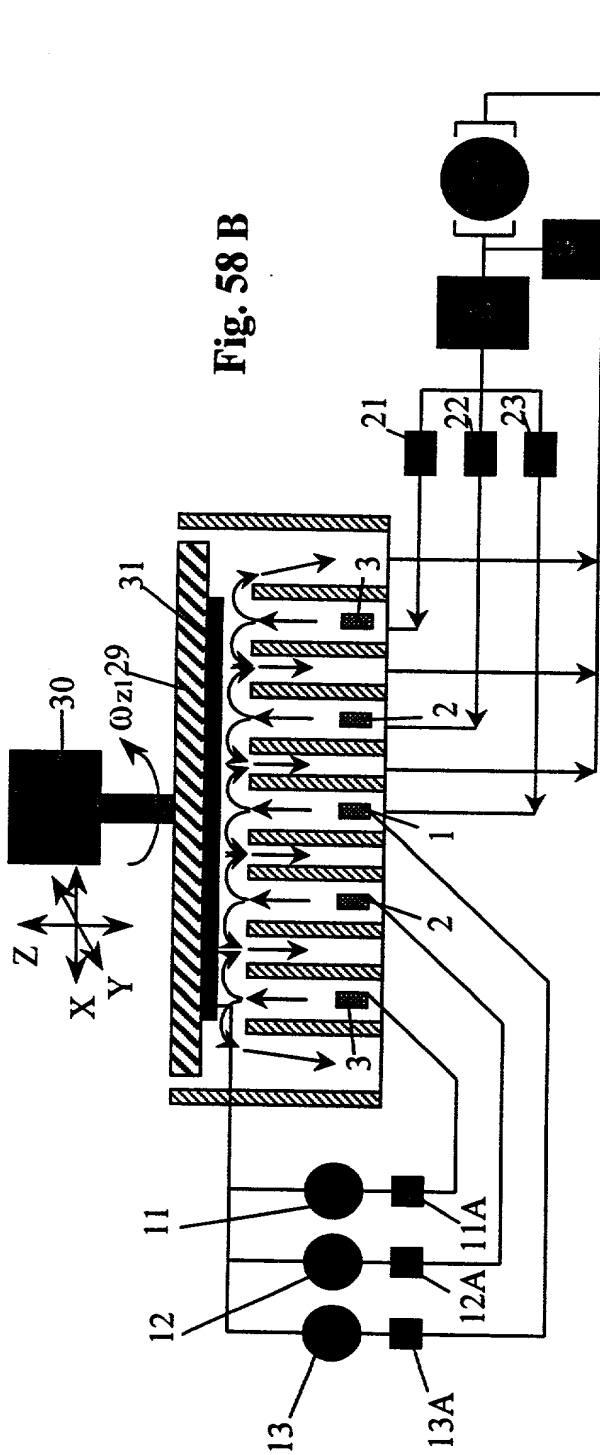


Fig. 58 B

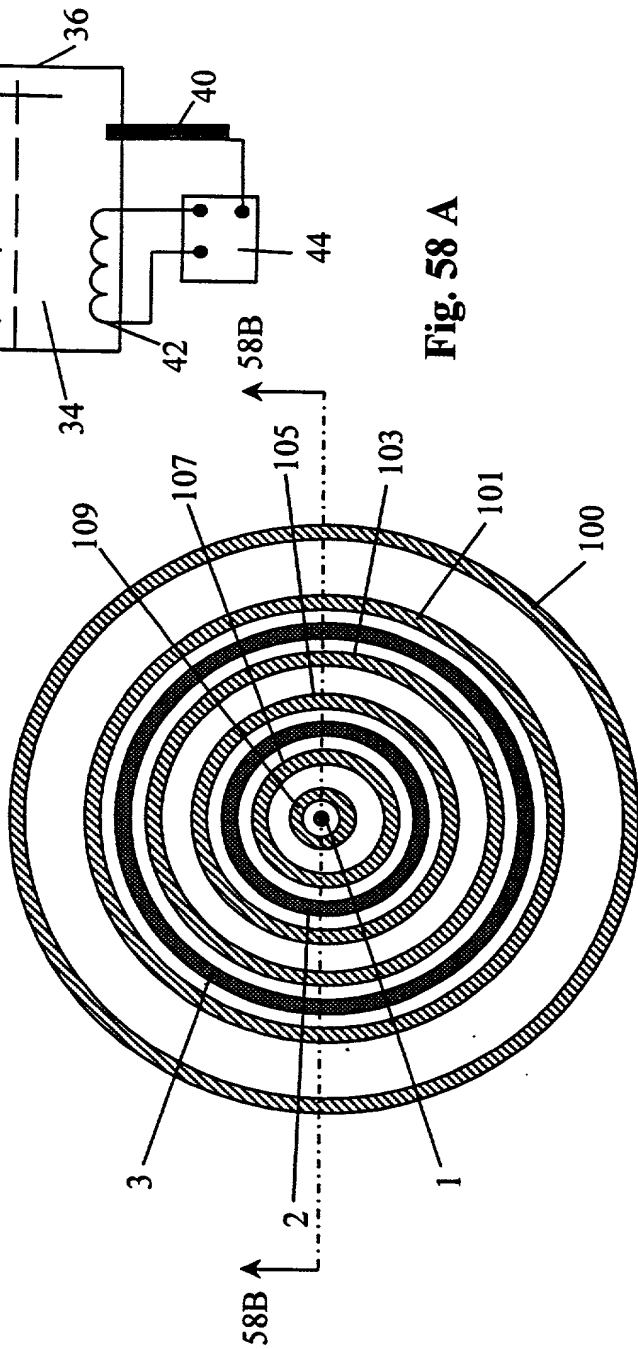


Fig. 58 A

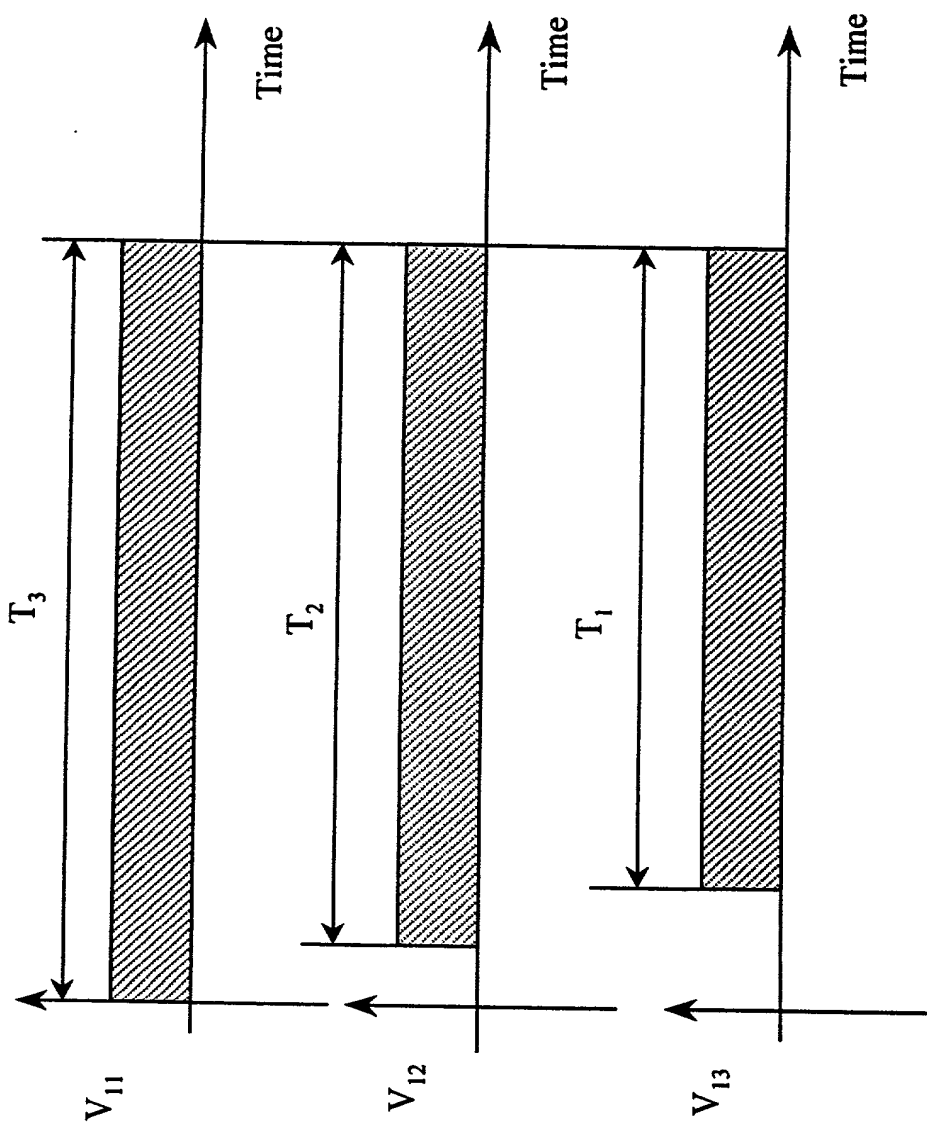


Fig. 59

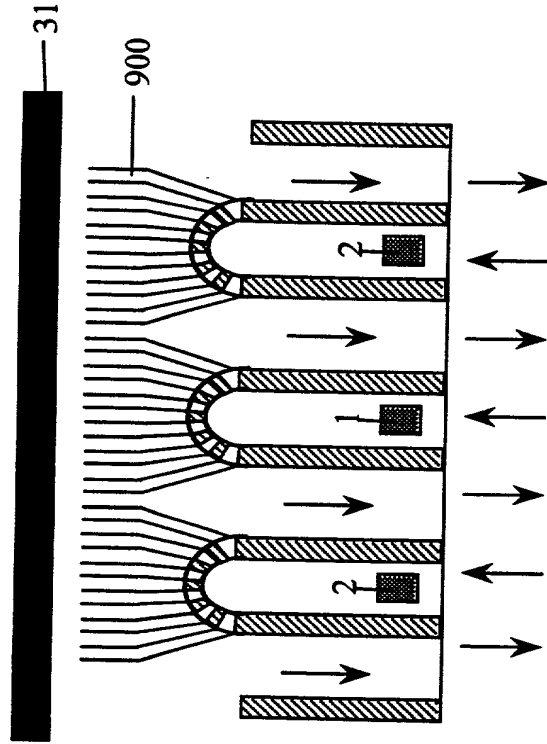


Fig. 60 B

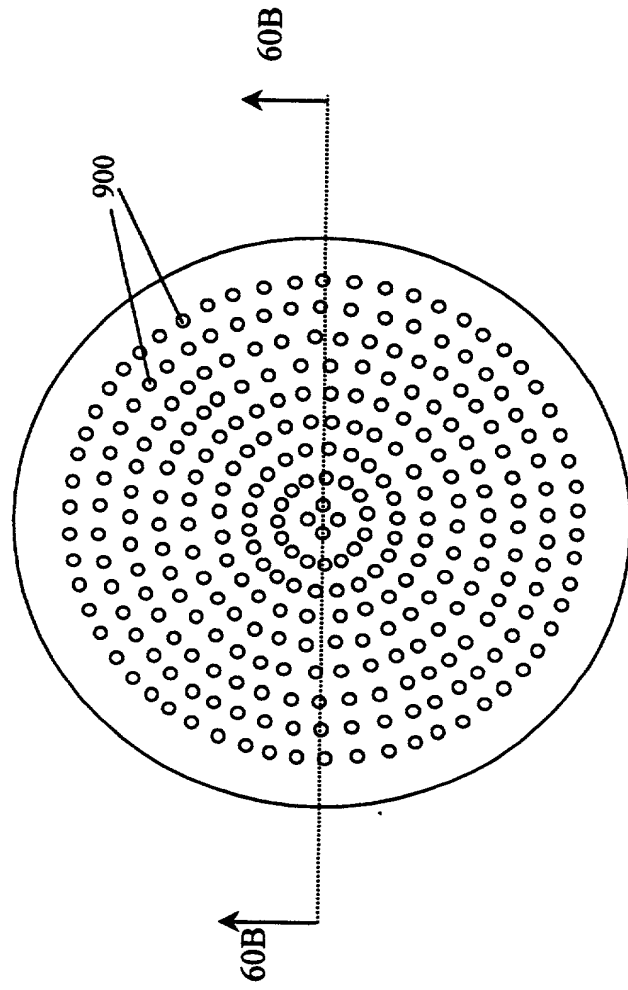


Fig. 60 A

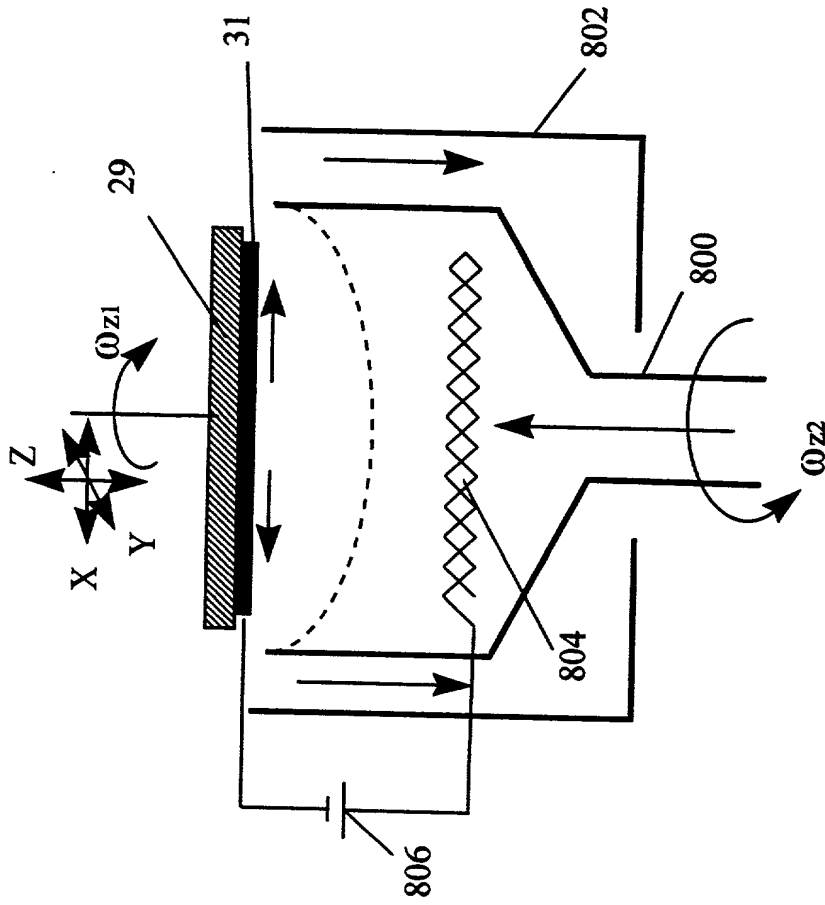


Fig. 61

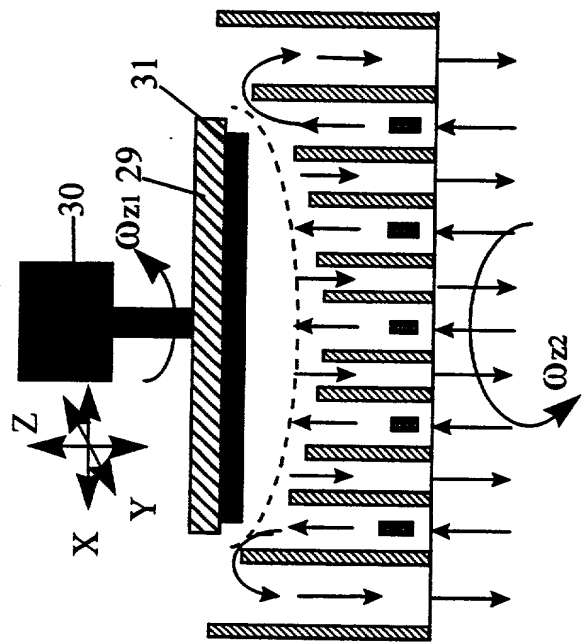


Fig. 62

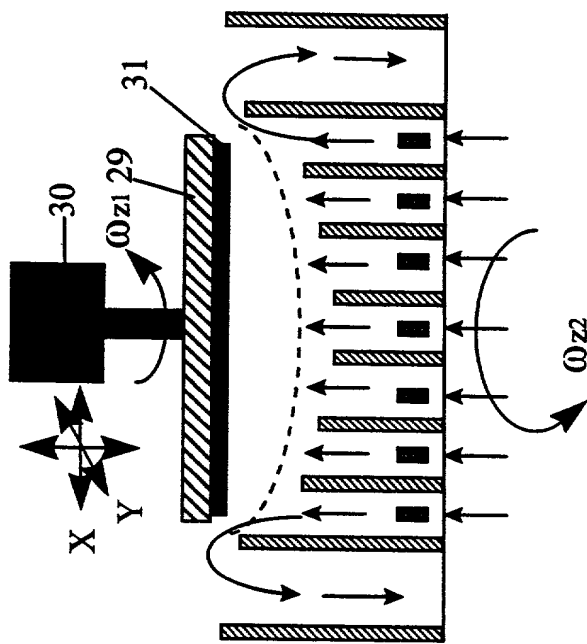


Fig. 63

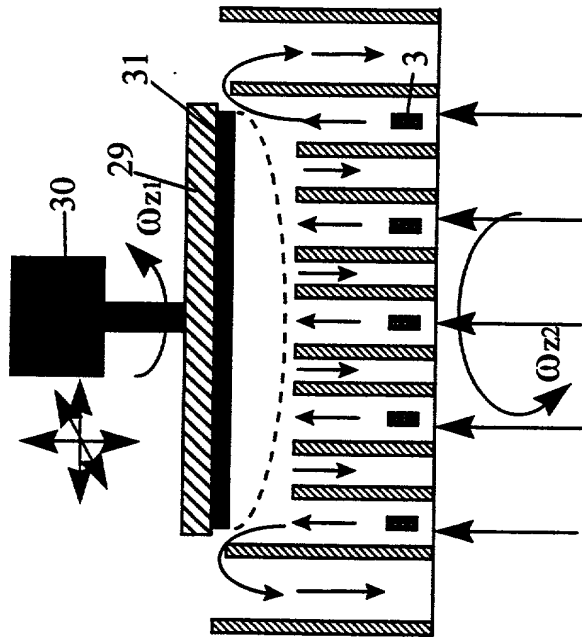


Fig. 64

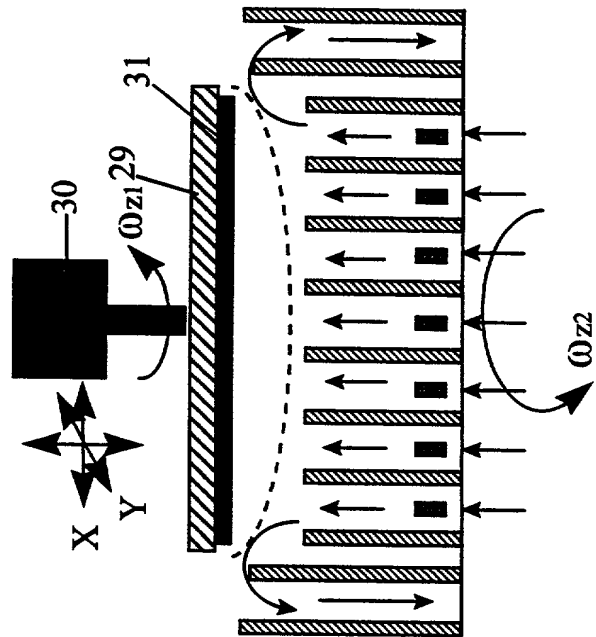


Fig. 65

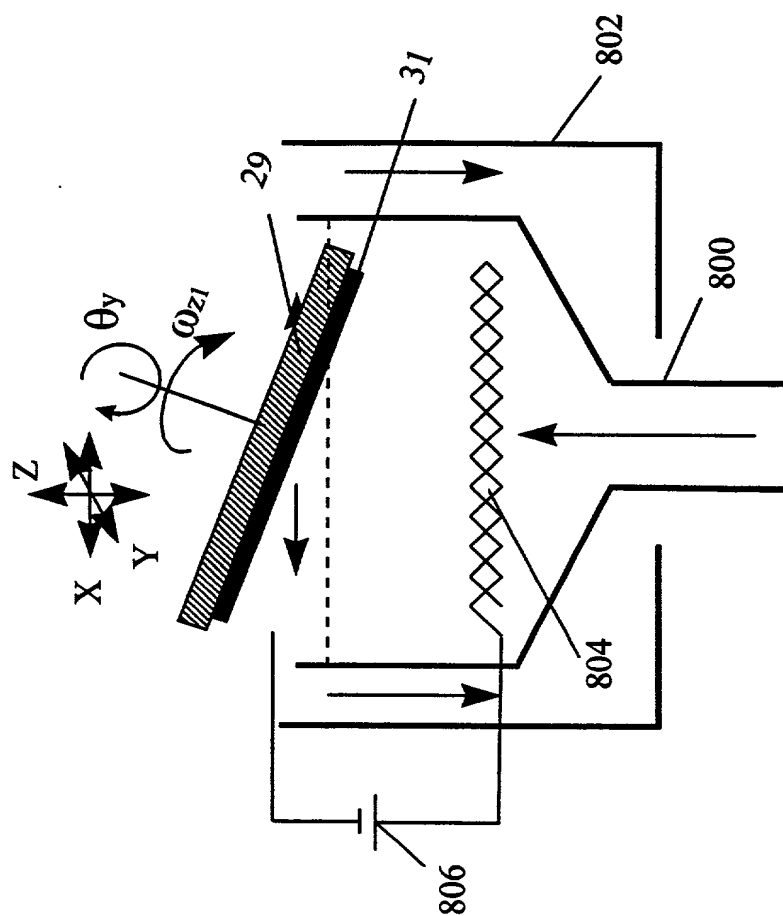


Fig. 66

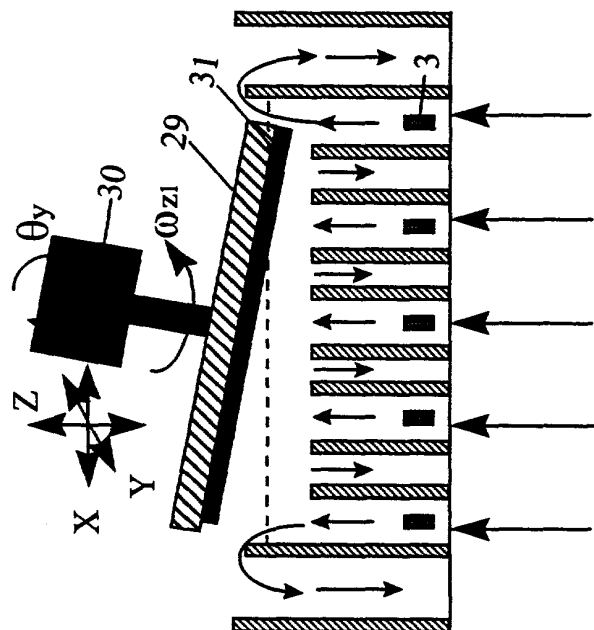


Fig. 67

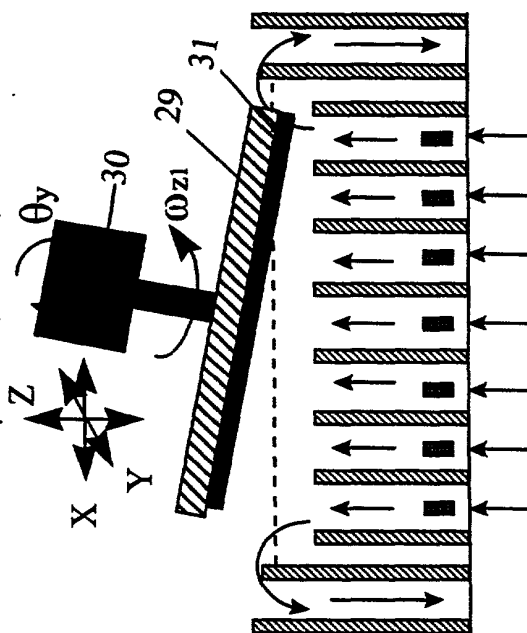


Fig. 68

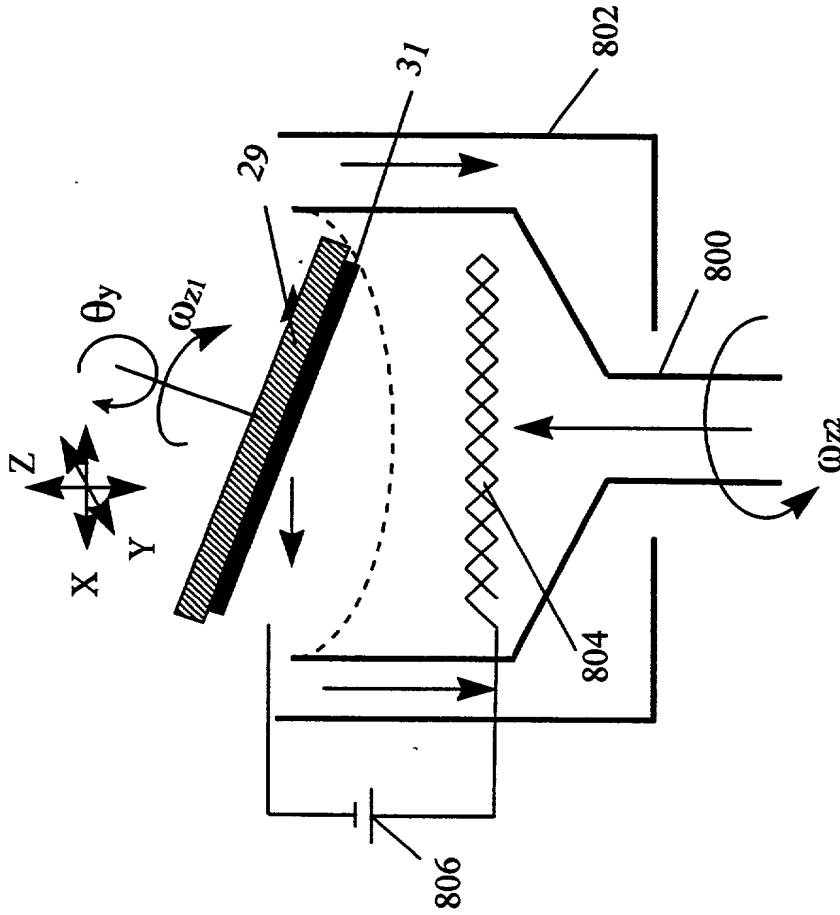


Fig. 69

